

TARTU ÜLIKOOL
Loodus- ja täppisteaduste valdkond
Ökoloogia ja maateaduste instituut
Õpperekava: Geoloogia ja keskkonnatehnoloogia

Rasmus Kont

Jõhvi raudkvartsiidi keemiline analüüs käsi-XRF-iga

Bakalaureusetöö geoloogias (12 EAP)

Juhendajad: Peeter Somelar

Siim Nirgi

Kaitsmisele lubatud

Juhendaja

allkiri, kuupäev

Tartu 2019

Jõhvi raudkvartsiidi keemiline analüüs käsi-XRF-iga

Uurimustöö eesmärk on selgitada, kasutades käsi-XRF-i, Jõhvi aluskorras oleva raudkvartsiidi keemiline koostis. Samuti võrrelda uue Jõhvi-PA2 mõõtmistulemusi varasematega.

Seoses Eesti Geoloogiateenistuse aluskorrauringutega, puuriti 2019. aasta sügisel ja talvel Jõhvi magnetanomaalia alale kaks uut süvapuuraku (Jõhvi-PA1 ja Jõhvi-PA2). Magnetanomaaliat põhjustavad raudkvartsiigid on geoloogidele huvi pakkunud juba eelmise sajandi esimesest pooltest, kuid nüüdseks on vanadest puursüdamikest tehtud analüüsides iganenud ning suurem osa kivimmaterjalist hävinenud. Magnetanomaalia taas uurimisega loodetakse saada täiendavat infot nii raudkvartsiitse keha mõõtmete kui ka koostise kohta. Antud töö on osa puursüdamike kirjeldamise programmist, mille tulemusi kasutatakse puursüdamiku litoloogilisel kirjeldamisel ja nii mineraloogiliste kui ka geokeemiliste prooviintervallide valikul.

Märksõnad: *Jõhvi magnetanomaalia, raudkvartsiit, puursüdamik, keemiline analüüs*

P420 Petroloogia, mineraloogia, geokeemia

Chemical analysis of iron quartzites from the Jõhvi area with the handheld XRF

The aim of this thesis is to use the handheld XRF to measure the chemical composition of the iron quartzites of the Jõhvi magnetic anomaly and to compare the results from the new drillcore Jõhvi-PA2 with the older ones.

In correlation with the Estonian Geological Survey's research on the crystalline basement of Estonia, two new drillcores (Jõhvi-PA1 and Jõhvi-PA2) were drilled in the magnetic anomaly area of Jõhvi in spring and winter of 2019. The rocks which cause the magnetic anomaly in Jõhvi have been of interest to scientists for a long time. The research carried out on the basis of the older drillcores are outdated and many of the studied rock samples have been completely used for previous analyzes. New research on the magnetic anomaly of Jõhvi hopes to gather further data concerning the composition and measurements of the body of iron quartzites. This work is a part of the drillcore description program, from which gathered results will be used in

the description of the drillcore and the sample selection for mineralogical and geochemical analysis.

Keywords: *Jõhvi magnetic anomaly, iron quartzite, drillcore, chemical analyzes*

P420 Petrology, mineralogy, geochemistry

Sisukord

Sissejuhatus	2
1. Jõhvi magnetanomaalia ajalugu	5
2. Jõhvi magnetanomaalia geoloogia	8
3. Materjalid ja meetodid	10
3.1 Asukoht ja üldandmed	10
3.2 Kasutatud seadmed ja meetodid	11
3.3 Jõhvi-PA2 kivimiline koostis	12
4. Mõõtmistulemused	14
4.1 Põhielemendid	14
4.2 Jälgelemendid	15
5. Arutelu	18
5.1 Käsi-XRF-i täpsus	18
5.2 Mõõtmistulemuste järeldus ning võrdlus eelmiste töödega	19
5.3 Jõhvi raudkvartsiidi kasumlikkus	21
Kokkuvõte	23
Tänuavaldused	25
Kasutatud kirjandus	26
Internetiallikad	31
Lisad	32

Sissejuhatus

Raudkvartsiit esindab valdavalt moondunud settekivimeid, mis on tekkinud algselt merelises keskkonnas. Raudkvartsiit on vöödilise ehitusega kivim, kus vahelduvad kvartsiidi kihid ja rauarikaste mineraalide kihid (hematiit, magnetiit, sideriit, püriit jt.). Raua sisaldus on tüüpiliselt üle 15% (Bekker *et al.*, 2010). Kihtide suurused võivad ulatuda mõnest mikromeetrist kuni mõnekümnne meetrini. (Katsuta *et al.*, 2012). Kivim päri neb Eelkambriumist ning on tekkinud ajavahemikel 3,8–1,8 ja 0,8–0,6 miljardit aastat tagasi (Klein 2005, Holland 2005). Selliseid vöödilisi rauaformatsioone kutsutakse BIF-ideks (inglise keeles *banded iron formation*). BIF-id on teada kõigilt Eelkambriumi kontinentidelt (Trendall, 2013). BIF-ide tekke mehhanismid pole siiani täiesti selged (Smith, 2015). Suurem konsensus on BIF-dega, mis tekkisid vahemikus 0,8–0,6 Ma tagasi. Nende tekkimist seostatakse Neoproterosoikumis toimunud jäätumistega (Smith, 2015), mille käigus tekkisid anoksilised tingimused maailmameres. Neoproterosoikumist on teada kaks suuremat jäätumist: Sturtian (ca. 715) ja Marinoan (ca. 635), mille käigus oli kogu planeet kaetud jääkattega. Neid sündmusi nimetatakse ka „Lumepallimaa“ sündmusteks. Lisaks toimus Neoproterosoikumi lõpus ka väiksem Gaskiersi (ca. 582) jäätumine, mille kohta arvatakse, et jäätumine polnud nii ulatuslik vörreldes eelnevatega (Pu *et al.*, 2016). Seevastu vanemate BIF-ide (3,8–1,8 Ma tagasi), eriti aga „Suurele Hapnikusündmusele“ eelnendud BIF-ide teke on palju probleemalilisem (Smith, 2015). On vaieldud BIF-ide tekkeks vajaliku lahustunud Fe^{2+} päritolu kui ka settimise mehhanismi üle (Holland 2005; Rasmussen *et al.*, 2015). Valdavalt arvatakse, et vanade BIF-ide settimise juures mängisid olulist rolli rauda oksüdeerivad bakterid (Kappler *et al.*, 2005), millele annavad kinnitust ka BIF-idega kaasnevad karbonaatides määratud tugevalt negatiivsed $\delta^{13}\text{C}$ väärtsused (Bekker *et al.*, 2010). Lisaks pole päris selged ka mehhanismid BIF-ide tsüklilise kihilisuse ehituse taga, kuna tänapäeval esiteks ei setti BIF-i laadseid setteid (puuduvad analoogid) ja teiseks ei esine selliste kivimite tekkeks sobivaid tingimusi. Teadlased on siiski ühte meelt, et nende kujunemisel on suurt rolli mänginud sesoonsed tsüklid, tõusu-mõõna sündmused, päikese tsüklid ning Milankovichi tsüklid. (Katsuta *et al.*, 2012).

Mineraloogiliselt vahelduvad raua mineraalid (hematiit, magnetiit) kvartsi, ränikivimi või karbonaatidega (sideriit). Arhaikumis ja Paleoproteosoikumis moodustunud BIF-ide keemiline koostis on võrdlemisi konstante. Kõrged on ränioksiidi ja raua kontsentratsioonid, mille keskmised massiprotsendid ulatuvad vastavalt kuni 56% ja 40%-ni. Vähem esineb

kaltsiumoksiidi, kuni 9%-ni, ning veel väiksemal määral teisi ühendeid, nagu näiteks magneesium- või alumiiniumoksiide. Neoproterosoikumi BIF-id koosnevad rangelt ainult ränikivimist ja hematiidist ning väga väiksel määral karbonaatidest. (Klein *et al.*, 2005).

BIF-id on settelist päritolu, kuid enamikku neist peetakse hilisemate moondeprotsesside tõttu siiski moondekivimiteks. Varajasemad Neoproterosoikumi BIF-id on läbinud ainult diageneesi või väga madala moondeprotsessi, mistõttu saab neid mõningatel juhtudel veel klassifitseerida settekivimiteks. Kõik vanemad BIF-id on aga läbinud palju ulatuslikumaid metamorfismi faase, mis tähendab seda, et kivimi primaarsed struktuurid on hävinenud ja/või asendunud sekundaarsetega. Sinna hulka kuuluvad protsessid, nagu metamorfsed reaktsioonid, ümberkristalliseerumine ja deformatsioon. (Katsuta *et al.*, 2012).

Tänapäeval pärineb valdav osa raua tootmiseks vajalikust rauamaagist just BIF-idest (Dalstra ja Guedes, 2004). BIF-id on seega väga olulised rauamaagi allikad ja potentsiaalsed tuluallikad. Kõige suurem BIF-ide rauamaagi kaevandus asub hetkel Brasiliias Carajase regioonis. Sealse rauamaagi mahtu hinnatakse olevat 17,8 miljardit tonni, keskmise raua sisaldusega 66,1%. (Klein ja Ladeira, 2002). Song *et al.*, (2019) on väitnud, et maailma raua toodang on olnud tõusutrendis juba 1970-st aastatest saadik, tõustes keskmiselt 2,24% aastas, kuigi viimastel aastatel on produktsiooni tõus olnud väiksem võrreldes eelnevate aastatega. Rauamaagi tarbimine on alates 2000-st aastatest tõusnud suure hooga. Aastal 2000 oli kogu maailma aastane tarbimine 930 miljonit tonni, aastaks 2017 oli see tõusnud 2,05 miljardi tonnini. Tösi, kõige suuremaid kasvunumbreid ja kasvu kiirust rauamaagi tootmisel on näidanud Okeania ning rauamaagi tarbimisel Aasia. Euroopa on nii produktsiooni kui tarbimist arvestades viimastel aastatel stabiilne või väga väikeste kahanemistega (Song *et al.*, 2019). Lisaks on kasvanud ka raua taaskasutamine. Raua ümbertöötlemine on kasvanud mõnekümnest miljonist tonnist (1870 a.) kuni 611 miljoni tonnini (2015 a.) aastas. Hinnangute kohaselt jõub see number aastaks 2050 üle 1,5 miljardi tonnini aastas. (Oda *et al.*, 2013; Xylia *et al.*, 2017).

BIF-idel esineb sageli ka muid väärtslikke elemente peale raua, kuid need on tihtipeale väikeses kogustes ning pigem teisejärgulised, sellegipoolest tasub neile tähelepanu pöörata, mida on tehtud ka selles töös.

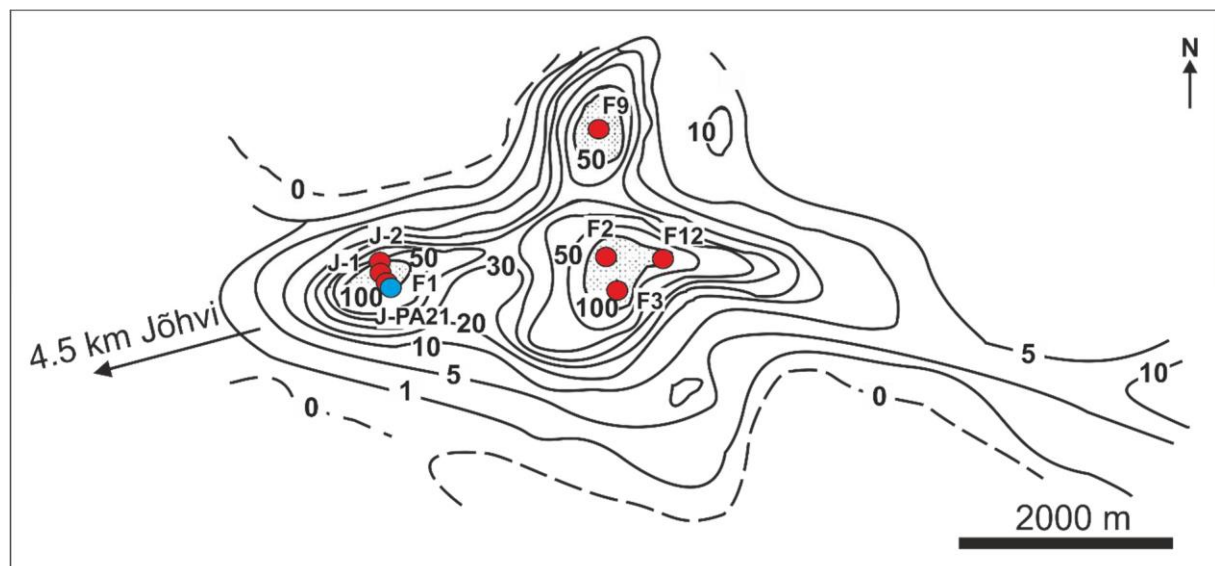
BIF-id pole kasulikud mitte ainult majanduslikult, vaid on mänginud olulist rolli varajase Arhaikumi ja Paleoproterosoikumi maismaa ja ka ookeani protsesside kirjeldamisel (Smith,

2015). BIF-ide abil saab hinnata varajase Maa atmosfääris toimunud muutuseid, iseäranis muutusid hapniku (O_2) ja süsinikdioksiidi (CO_2) kontsentratsioonides (Klein *et al.*, 2005). BIF- e on kasutatud ka Arhaikumi ja Proterosoikumi ookeanite keemilise koostise, eriti hapnikutasemete, taastamiseks. Erinevate uuringute põhjal olid BIF-ide-eelsed ookeanid täielikult anoksilised, kuni hakkas tekkima vaba hapnikku, mis esialgu jõudis ainult ookeani ülemistesse kihtidesse. Seda kinnitavad BIF-ide uuringud, mis tõid välja, et peale hapniku tõusu atmosfääris hakkasid BIF-id esmalt tekkima pinnalähedastes vetes, millele viitavad ka raudkvartsiitide teralised ja oliitsed struktuurid (Klein *et al.*, 2005; Viehmann *et al.*, 2015). Lisaks on BIF-e kasutatud varajase elu kirjeldamiseks (Konhauser *et al.*, 2002; Ohmoto, 2006).

Antud bakalaureusetöö eesmärgiks on 2019. aasta novembris ja detsembris puuritud Jõhvi uue puursüdamiku (Jõhvi-PA2) keemilise koostise määramine käsi-XRF seadmega, lihtsustamakas tulevikus toimuvate uuringute ja analüüside (mineraalne koostis – XRD, WDXRF, ICP keemia ja SEM analüüs) läbiviimist. Analüüsi tulemuste põhjal üritatakse leida seoseid erinevate elementide ja kivimilise koostise ja sisalduste vahel ning tuua välja oluliste elementide kõrgendatud sisaldusi.

1. Jõhvi magnetanomaalia ajalugu

Jõhvi magnetanomaalia avastati 1930-ndate esimesel poolel üle-Eestilise magnetomeetritiste mõõtmiste tulemusel (Linari, 1940; Rõõmusoks, 1983). Avastus oli tehtud tolleaegse kaitsevääe topograafia osakonna poolt, mille käigus uuriti Eestis olevaid magnetomeerilisi ilminguid militaarotstarbeksi. Koos ekspertidega jõuti järeldusele, et tegemist peab olema maapõues oleva kivimkehaga, millel esinevad magnetilised omadused. (Linari, 1940). Nende uuringute käigus avastati 4,5 km Jõhvi linnast ida poole jääv nn. Jõhvi magnetiline anomalia (nimetuse Jõhvi magnetanomaalia sai subjekt A. Luha järgi alates aastast 1946), mis koosneb kolmest silmaga eristatavast maksimumist (Joonis 1). Anomaaliate väärituded kõiguvad mõnest tuhandest nT-st kuni 15000 nT-ni (Rõõmusoks, 1983; Erisalu *et al.*, 1969).



Joonis 1. Jõhvi magnetanomaalia magnetväli (100-des gammades) koos puursüdamike asukohtadega. (Linari, 1940; Erisalu *et al.*, 1969).

Aastatel 1937–1939 puuriti aktsiaselts Magna eestvedamisel kaks puurauku: J-1 ja J-2 sügavustega 505,03 m ja 721,5 m. Puuraugud rajati anomalia kõige läänepoolsemasse osasse, kuna seal oli anomaaalsust põhjustav kivim mõõtmisandmete järgi maapinnale kõige lähemal ja magnetanomaalia tipp kõige järsem. Magnal puudus tol ajal enda tehnika pehmete settekivimite puurimiseks ning pidid seetõttu kasutama kohaliku puurimisettevõtte abi. Tollased puurimised olid esimesteks Eestis, kus jõuti planeeritult välja kristalliinse aluskorranzi. Esimene puurauk lõpetati ennatlikult suurte kulude tõttu, mida ei osatud ette arvestada. Kuna aluskorda puuriti esimest korda, siis tuli paramatatult ette äpardusi ja ettearvamatus, mis lõppkokkuvõttes

suurendasid töömahtu, -aega, -kvaliteeti ja -kulused. Teiseks puurauguks saadi riigilt laenu, millega tõsteti masina efektiivsust ning õnnestuti seega jõuda palju sügavamale. Lisaks oli selle aja peale projekti töölistel juba tekinud kogemusi ning suudeti rohkem vigu vältida. Teine puurauk puuriti esimesest puuraugust 60 m põhja poole. Puursüdamikest saadi lõpuks kätte magnetiiti sisalda kvartsitne kivim. (Linari, 1940). Uuringud puurimise ja kaardistamise näol jätkusid 60-tel aastatel, kui ENSV otsutas viia läbi Eesti aluskorra uuringuid, pannes esimesena põhiröhku Jõhvi anomalsele alale, mille laiem eesmärk oli sealse rauamaagi kasutuselevõtt. Aastatel 1961–1965 teostati gravimagnetilisi kaardistamisi ning aeromagnetilisi kaardistamisi mõõdus 1:50 000. Aastatel 1966–1968 puuriti Jõhvi magnetilise anomalia piirkonda ning seda ümbrissevale alale 23 uut puuraku, millest 16 neist olid puuritud anomaliaga alale. Enne 2019 aastat on Jõhvi magnetilise anomalia alale (umbes 20 km²) puuritud kokku 18 puuraku, mis avavad aluskorrakivimeid (Suuroja, 1969). Seitsmes puursüdamikus nende 18 puursüdamiku seast on leitud raudkvartsiiti (J-1, J-2, F1, F2, F3, F9, F12). Ainult kahes neist (J-1 ja J-2) on säilinud puursüdamikumaterjal, kuid needki sisaldavad intervale, mis on varajasemate uuringute käigus täies ulatuses ära kasutatud, sealhulgas ka raudkvartsiiti sisaldavad vahemikud. (Puursüdamike andmebaas; Nirgi, 2019).

Välja puuritud Jõhvi puursüdamikud on olnud paljude teadlaste (Linari, 1940; Luha, 1946; Vagapova-Kadõrova, 1948; Vardajants, 1960; Puura ja Kuuspalu, 1966; Erisalu *et al.*, 1969; Suuroja, 1969; Petersell *et al.*, 1985, 1991; Voolma, 2007; Shtokalenko *et al.*, 2009 ja paljud teised) uurimisobjektiks. Enamik varasematest teadlastest (Linari, 1940; Vagapova-Kadõrova, 1948; Vardajants, 1960) olid järeldusel, et raudkvartsiidi puhul on tegemist kivimiga, mis on moodustunud metasomaatiliste skarnistumisprotsesside käigus. Edasised uuringud (Puura ja Kuuspalu, 1966; Suuroja, 1969) ei nõustu nendega ning pakkusid välja, et Jõhvi raudkvartsiidi puhul on tegemist esialgselt settelist päritolu vulkanogeense-setteliste kivimitega.

Viimane põhjalik uuring Jõhvi raudkvartsiidist tehti aastal 1969 (Erisalu *et al.*, 1969), mille raames valmis ka anomalse ala elemendilist ja petrograafilist ülevaadet andev diplomitöö (Suuroja, 1969). Suuroja, (1969) töö tulenes ENSV soovist 1960-tel hakata põhjalikumalt uurima Eesti aluskorda. Oma töös keskendub ta Jõhvi anomalse ala elemendilise ja petrograafilise ülevaate andmisele. Lisaks Suurojale, (1969) on Eesti aluskorra keemiliste, mineraloogiliste ja petrograafiliste uuringute käigus kajastatud Jõhvi anomaalset ala ka Kivililla *et al.*, (1999) ning Koppelmaa, (2002) töödes. Kivililla *et al.*, (1999) koondatud analüüsitemiste kataloog põhineb varasemate materjalide (Eesti aluskorra elemendilise

sisalduse) kokku koondamisel, mis ei olnud laiemale üldsusele varem kättesaadav. Jõhvi magnetanomaalse ala raudkvartsiitseid vahemikke on esmakordselt kirjeldanud järgmised tööd: puursüdamikes J-1 ja J-2 Vagapova-Kadõrova, (1948); Puura *et al.*, (1967), puursüdamikes F1, F2, F9 ja F12 Erisalu *et al.*, (1969); Petersell *et al.*, (1982). Koppelmaa, (2002) töö seisnes Eesti kristalse aluskorra 1:400 000 kaardile seletuste ja kirjelduste andmisel (mineraloogia ja petrograafia).

2. Jõhvi magnetanomaalia geoloogia

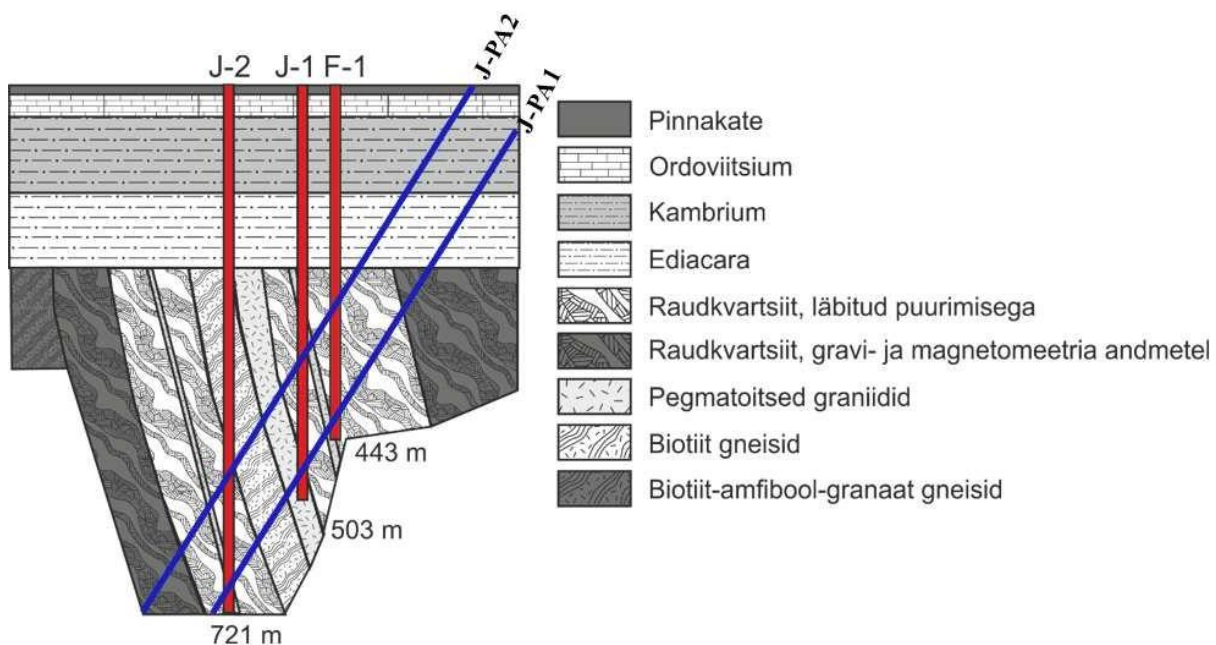
Eesti kristalne aluskord koosneb 1,9–1,7 miljardi vanuselistest Paleoproterosoikumi granuliitse ja amfiboliitse moonde läbinud sette ja vulkaaniistest kivimitest koosnevast Svekofenni kompleksist (Puura ja Huhma, 1993; Kirs *et al.*, 2009) ja neid läbivatest 1,6–1,4 miljardi vanuselistest intrusivsetest Paleo- ja Mesoproterosoikumi rabakivigraniitidest (Haapala *et al.*, 2005; Kirs *et al.*, 2009). Geoloogiliste ja geofüüsikaliste uuringute põhjal jagatakse Eesti kristalne aluskord kuueks struktuurilis-faatsiaalseks vööndiks: Tallinna, Tapa, Alutaguse, Jõhvi, Lääne-Eesti ja Lõuna-Eesti vöönd. Põhja- ja Kirde-Eestis asuvaid vööndeid iseloomustavad järgmised kivimid: Tallinna vööndis amfiboolid ja amfiboliit-biotiitgneisid, Alutaguse vööndis aluminiumirikkad gneisid, Tapa vööndis amfiboolid ja biotiit-amfiboliitgneisid ja Jõhvi vööndis pürokseen, granaatgneisid koos raudkvartsiidiga. Lõuna- ja Lääne-Eestit iseloomustavad peamiselt amfiboliidid, biotiit-amfiboliit-pürokseen- ja biotiit-päevakivigneisid (Puura *et al.*, 1983; Soesoo *et al.*, 2020).

Jõhvi vöönd on pindalaliselt kõige väiksem vörreldes ülejäänud viie vööndiga. See on 100 km pikkune ja 20–30 km laiuneala Kirde-Eestis, mida ümbritseb Alutaguse vöönd. Jõhvi vööndi kivimid on läbinud granuliitse moonde, mis koosneb enamasti erinevatest gneisside. Piirkonnas esineb ka migmatiidistumist, mistõttu võib esineda graniitse koostisega kivimeid. Vööndile on iseloomulikud tugevad magnetilised ja rasukusjõu anomaliad. Kuna ala katavad ulatuslikud settekivimite lasundid, siis on möödunud uuringud põhinenud puursüdamike ja geofüüsikaliste uuringute andmetel. (Voolma *et al.*, 2010).

Jõhvi magnetanomaalia piirkonnas asub kristalne aluskord umbes 240 m sügavusel. Kristalsetel kivimitel lasuvad Ediacara, Kambriumi ja Ordoviitsiumi settekivimid, mida omakorda katavad mõne meetri paksused kvaternaarisetted. Settekivimite vahemikus esineb kolm veekihti (ülevalt alla): Kvaternaari ja Ordoviitsiumi karbonaatsete kivimite veekompleksi, Ordoviitsium-Kambriumi veekiht ja Kambrium-Vendi veekompleksi. Kristalse aluskorra ülemise osa moodustab murenemiskoorik, kus levib ka murenenud raudkvartsiit. Koppelmaa, (2002) on leidnud, et keskmise murenemiskooriku paksus Jõhvi raudkvartsiitidel on 24,3 m, mis on suurem kui Eesti aluskorra kivimitel keskmiselt (Koppelmaa, 2002). Geofüüsikaliste andmete abil on saadud raudkvartsiidi keha oletatavaks keskmiseks paksuseks umbes 350 m. Sealsed aluskorra kivimid on suuremas osas granuliitse faatsiese moondekivimid, milleks on erineva

mineraloogilise koostisega gneisid (biotiit-plagioklass-, amfibool-, granaat-kordieriit-, pürokseen-, kvarts-päevakivi- ja magnetiitgneisid). Jõhvi anomalia piirkonnas on kvartsi ja magnetiidi vahelduvad kihid võrdlemisi peenikesed, jäädes sentimeetrite suurusjärku. Puurimiste käigus ei ole jõutud Jõhvi magnetanomaaliat põhjustava raudkvartsiidi keha sügavama piirini. (Petersell, 1985). Selleni ei jõutud ka uute puuraukudega. Raudkvartsiidi keskmine tihedus on $3,47 \text{ g/cm}^3$ ning keskmine magnetiline vastuvõtluskus 0,47 SI, mis on mõlemad kõige suuremad näitajad Eesti aluskorra kivimite seas. (Koppelmaa, 2002).

Jõhvi magnetanomaalia kihilised gneisid on keerulise lasuvusega (Joonis 2). Kõigi kolme anomalia puhul on tegemist erinevate lasumustingimustega. Läänepoolseima anomalia kihilised gneisid on subvertikaalsed, kallakusnurgaga $70\text{--}90^\circ$ lõunasuunas, idapoolseima anomalia puhul on kihtide kallakus enim varieeruv $50\text{--}80^\circ$ ilma kindla suunata ning kirdepoolseim anomalia on idasuunaline, kallakusega $50\text{--}60^\circ$ vahel. (Shtokalenko *et al.*, 2009). Uue puuraugu Jõhvi-PA2 eesmärk oli tabada Jõhvi magnetanomaalia läänepoolseimat raudkvartsiitset keha, mis oli $70\text{--}90^\circ$ nurga all, võimalikult perpendikulaarselt, et läbida võimalikult maksimaalselt eelnevalt kirjeldatud kivimkihte (Joonis 2). Löplikku puursüdamiku kallakusnurka ja asimuudi muutust pole veel arvestatud.

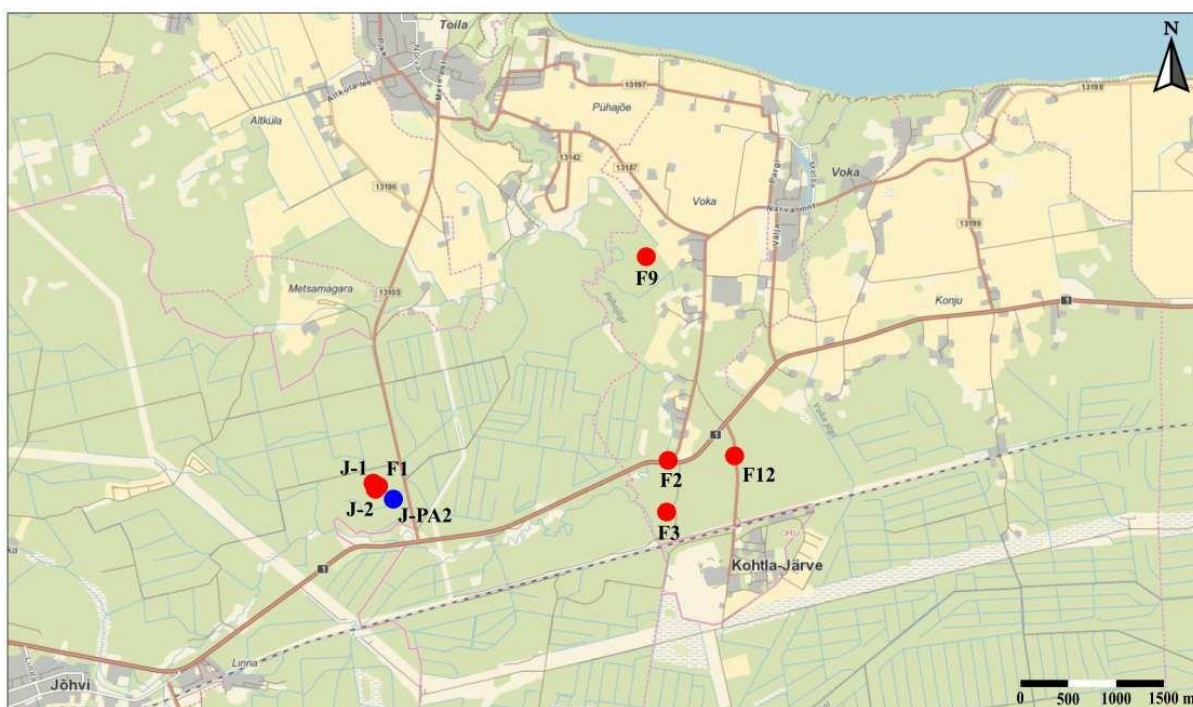


Joonis 2. Jõhvi lääne poolse magnetanomaalia skemaatiline geoloogiline läbilõige koos varajasemate puursüdamikega (Petersell *et al.*, 1985). Siniste joontega märgitud puuraukude Jõhvi-PA1 ja Jõhvi-PA2 planeeritud trajektoorid.

3. Materjalid ja meetodid

3.1 Asukohat ja üldandmed

Antud bakalaureusetöö keskendub 2019. aasta novembris ja detsembris puuritud uue Jõhvi puursüdamiku (Jõhvi-PA2) keemilise koostise mõõtmistele käsi XRF-iga. Uus puurauk asub Ida-Virumaal Jõhvi linnast kirde suunas 4,5 km kaugusel koordinaatidel X: 6587461.0, Y: 699143.0. Puuringud teostas OÜ Inseneribüroo STEIGER. EH 2000 kõrgusmudeli alusel on maapinna kõrgus puuraugu asukohas 40,234 m.

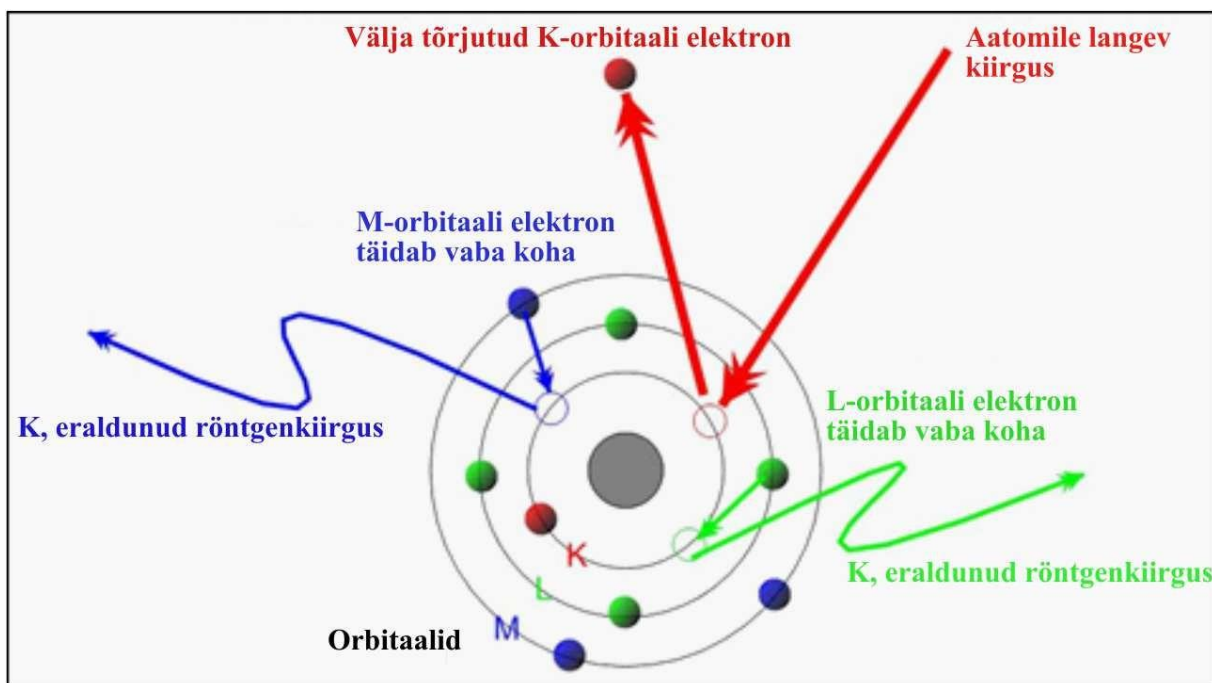


Joonis 3. Asukohaskeem Jõhvi magnetanomaalia puuraukude kohta. Punasega märgitud puuraugud, kust leitud raudkvartsiiti. Sinisega märgitud 2019. aasta puurauk Jõhvi-PA2. Aluskaart: Maa-amet.

Puursüdamiku kogusügavus on 770,49 m. Huviorbiidis olev kristalne aluskord algab 287,72 m sügavuselt. Mõõtmised käsi-XRF-iga teostati sügavusvahemikus 287,72–770,49 m. Kogu 482,68 m pikkuse intervalli peale tehti kokku 514 käsi-XRF-i analüüs.

3.2 Kasutatud seadmed ja meetodid

Antud töös on puursüdamiku mõõtmiseks kasutatud XRF (inglise keeles *X-ray fluorescence*) meetodit, mis on mõeldud kivimite ja erinevate materjalide keemilise koostise määramiseks. Selleks ergastatakse proovi röntgenkiirgusega, mille käigus elektronid lahkuvad sisemistest kihtidest. See tekitab aatomis ebastiilise seisundi ning selle stabiliseerimiseks tühimikud täidetakse kõrgema kihi elektronide poolt, mida tuntakse fluoresentsi nähtusena. Et tulla kõrgematest orbitaalkihtidest madalamatele, peab elektron loovutama energiat, mis on võrdeline läbitud vahemaaga kõrgematest kihtidest madalamatele. Selle tagajärjel eraldub karakterne kiirgusvoog, mis on igal elemendil erinev ning mille abil saab määrata täpselt, mis elemendiga on tegu, kuna iga elemendi orbitaalidevahelised vahemad on erinevad.



Joonis 4. Röntgenfluoresentskiirguse mõju aatomile (<https://www.bruker.com/products/x-ray-diffraction-and-elemental-analysis/handheld-xrf/how-xrf-works.html>).

XRF tüüpe on kaks: EDXRF (*Energy dispersive X-ray fluorescence*) ja WDXRF (*Wavelength dispersive X-ray fluorescence*). Käsi-XRF-id on EDXRF tüüpi, statsionaarseid on olemas mõlemat tüüpi. Kahe tüübi peamine vahe sõltub kvantiteedi ja kvaliteedi suhtes. EDXRF on mõeldud pigem elementide kiireks kvantitatiivseks hindamiseks ning WDXRF on mõeldud täpsemaks analüütiliseks elementide hindamiseks. WDXRF on tundlikum ja tuvastab rohkem

elemente (alates berülliumist) (<https://www.thermofisher.com/blog/metals/laboratory-based-xrf-vs-handheld-xrf-whats-the-difference/>).

Keemilise koostise määramiseks kasutati Brukeri käsi-XRF-i TRACER 5i-d. TRACER 5i on varustatud 20mm^2 ränidiood detektoriga ($< 140 \text{ eV} @ 250000 \text{ cps Mn K}\alpha$), detektorit kaitseb $8 \mu\text{m}$ berülliumist kile, röntgenkiired tekitab õhuke roodiumaknaga röntgentoru ($6\text{--}50 \text{ kV}$, $4,5\text{--}195 \mu\text{A}$), võimalik valida kahe kollimaatori ava vahel: 3 mm ja 8 mm ja tuvastab elemente magneesiumist uraanini. Mõõtmiste ajal kasutati 8 mm kollimaatori ava ja Geo Exploration seadeid, mis võimaldas mõõtmisi läbi viia kolmes etapis. Kolm mõõtmisetappi kokku võttis aega 50 sekundit. Esimene etapp kestis 20 sekundit ja võimsuse 1,3 kV juures. Mõõdeti järgmisi elemente: K, Ca, Ti, V, Cr, Mn, Fe, Co, Ni, Cu, Zn, Ga, Hf, W, Ta, Au, Tl ja Se. Teine etapp kestis samuti 20 sekundit võimsusel 2,5 kV. Mõõdeti järgmisi elemente: As, Se, Rb, Sr, Y, Zr, Nb, Mo, Rh, Pd, Ag, Cd, In, Sn, Sb, Te, Ba, La, Ta, Pt, Au, Hg, Tl, Pb, Bi, Ce, Th, U. Viimane kolmas etapp kestis 10 sekundit võimsuse 3,15 kV juures. Selles etapis mõõdeti järgmisi kergemaaid elemente: Mg, K, Ca, Al, Si, P, S, Cl. Etappide kestvused said paika pandud enne mõõtmiste algust, lähtudes sellest, mis hetkest mõõtmistulemuste muutused said tühisteks.

XRF-i mõõtmispunktid märgiti eelnevalt puursüdamike kastidele ja teostati umbes meetrise sammuga. Juhul kui kivimi ilme ja/või koostis muutus ühe meetri sees, tehti mõõtmiseid tihedamalt. Mõõtmispunkti valikul välditi suuremaid kristalle (läbimõõduga üle 1 cm), vältimaks kõrvalekaldeid üldisest intervalli koostisest. Igas punktis teostati ühekordne mõõtmine ning terves puursüdamikus kokku 514 mõõtmist. Enne ja pärast analüüsni teostati kontrollmõõtmised Jaapani Geoloogiateenistuse graniidi standardiga JG-2.

3.3 Jõhvi-PA2 kivimiline koostis

Esialgne Jõhvi-PA2 puursüdamiku kirjeldamine teostati 2020 aasta kevadel Eesti Geoloogiateenistuse poolt. Makroskoopilisel kirjeldamisel jagati kivimid nelja põhirühma: biotiitgneisid (biotiiti rohkem kui granaati), granaatgneisid (granaatti rohkem kui biotiiti), raudkvartsiidid (iseloomulik kõrgem magnetiidi ja sulfiidide sisaldus) ning magnetiitgneisid (vähem kvartsi, pigem amfiboliitne gneiss vörrelduna raudkvartsiidiga). Kogu uuritud intervallis esineb migmatiidistumist. Kõige tüüpilisemad mineraalid kogu puuritud intervalli peale on biotiit, pürokseenid, päevakivi, granaat, kvarts ja magnetiit.

287,2–443,7 meetri vahemikus domineerivad biotiitgneisid, mis vahelduvad migmatiidistunud intervallidega. Selles vahemikus leidub ka hüpersteeni ja sillimaniiti. Vahemiku lõpus esineb juba üksikuid maagistumise ilminguid (magnetiit ja püriit).

443,7–503,5 meetri vahemikus domineerivad võödilised raudkvartsiidid, kus esineb rohkem kvartsiitset kui gneisilist kivimit. Leidub ka üksikuid migmatiseerunud vahemikke. Iseloomulik magnetiidi, püriidi ja pürrotoini esinemine.

503,5–552,6 meetri juures vahelduvad biotiitgneisid, granaatgneisid ja migmatiidistunud intervallid. Mineraalidest leidub hüpersteeni, biotiiti, granaatti ja kordieriiti. Magnetiiti esineb vähesel määral.

552,6–693,4 meetri vahemikus domineerivad magnetiitgneisiid ning raudkvartsiidid koos iseloomuliku püriidi ja pürrotoiniga, esineb ka biotiitgneisi ja granaatgneisi vahelduvaid kihte. Migmatiidistumine on laialdane antud vahemikus.

693,4–770,49 meetri vahemikus vahelduvad granaatgneisid migmatiidistunud intervallidega. Kuigi kivimi pooltest magnetiitgneisse selles vahemiku pole, leidub sellegipoolest antud vahemiku esimeses pooles arvestatavas koguses magnetiiti.

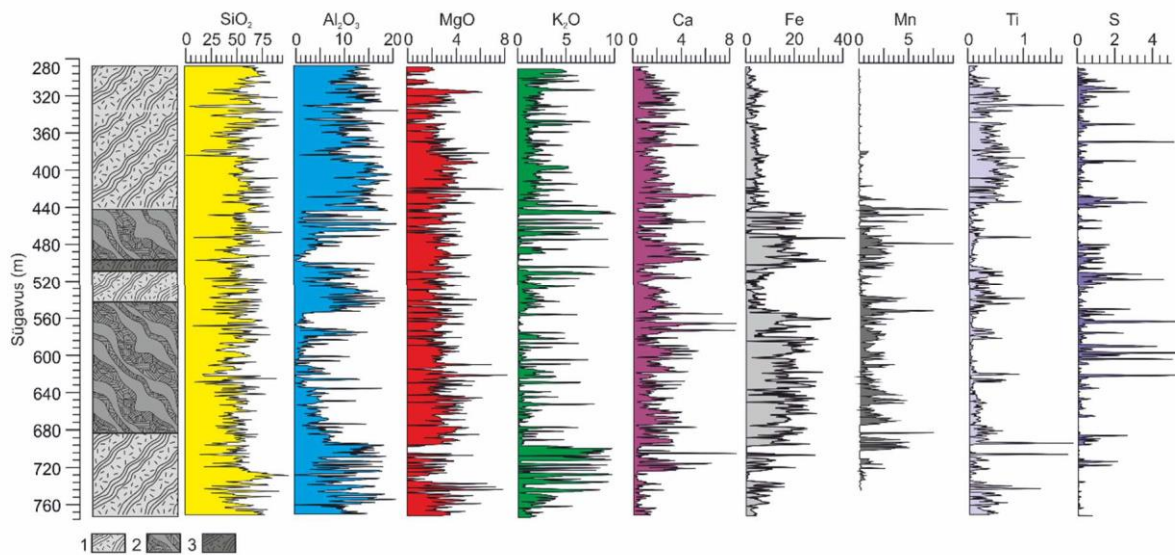
4. Mõõtmistulemused

Käsi-XRF mõõtmistulemused on näidatud lisas 1 ja joonistel 5–7. Kogukivimi keemiliste analüüside käigus mõõdeti kokku 47, milles lähemalt kirjeldati ja analüüsiti 19, keemilist elementi ja oksiidi (Lisa 1). Järgnevalt on esitatud andmed proovides esinevate levinumate elementide sisalduste kohta. Lisaks on mainitud olulismaid jälgimiste.

4.1 Põhielementid

Kogu uuritud intervalli ulatuses jääävad ränidioksiidi (SiO_2) sisaldused valdavalt vahemikku 40–60%. Keskmise ränidioksiidi sisaldus on 54,5%. Maksimaalsed väärtsused ulatuuvad 94,8%-ni ja minimaalsed 9,21%-ni. (Lisa 1 ja Joonis 5). Alumiiniumoksiidi (Al_2O_3) sisaldused vahelduvad 0-st 20,94%-ni. Üldiselt on sisaldused 10–15% vahel, kuid esineb kaks intervalli, kus sisaldused on oluliselt madalamad, mis ühtivad raua kõrgemate sisaldustega. Nendeks on vahemikud 444–506 m ning 551–700 m, mille keskmise sisaldus on 4,69%. Keskmise sisaldus kogu puursüdamiku kohta on 8,76% (Lisa 1 ja Joonis 5). Magneesiumoksiidi (MgO) sisaldused on sarnaselt SiO_2 sisaldustega konstantsed kogu läbilõike ulatuses, varieerudes 0-st 8%-ni. Erandiks on läbilõike esimesed 26 m kus MgO sisaldused jääävad alla määramispiiri või on alla 5% ja vahemik ~ 718–720 m kus MgO sisaldused jääävad alla määramispiiri. Samas on antud intervallile iseloomulikud keskmisest kõrgemad Al_2O_3 ja K_2O sisaldused (Lisa 1 ja Joonis 5). Kaaliumoksiidi (K_2O) sisaldus varieerub 0–11% vahel. Keskmise sisaldus kogu puursüdamiku kohta on 2,36%. Üldiselt on sisaldused madalad, 1–4% vahel, kuid südamikus esineb intervalle (440–484 m ja 692,7–743,5 m), kus sisaldused ulatuuvad 11%-ni (Lisa 1 ja Joonis 5). Raua (Fe) sisaldus uuritud intervallis jäääb vahemikku 0 kuni 38%. Keskmise sisaldus kogu intervallis on 8,4% (Lisa 1 ja Joonis 5) Kõrgemad raua sisaldused esinevad kahes intervallis: 444–506 m ja 551–700 m. Antud vahemikes on raua sisaldused keskmisest kõrgemad jäädnes enamjaolt 10–25% vahele, üksikutel juhtudel ulatuses kuni 38%-ni. Kaltsiumi (Ca) sisaldused varieeruvad 0 ja 8% vahel. Keskmise kaltsiumi sisaldus jäääb 1,8 ja 2% vahele. Ca sisaldused on oluliselt madalamad uuritud intervalli alguses (esimesed 26 m) ja lõpus (viimased 50 m), kus sisaldused on valdavalt alla 3% (Lisa 1 ja Joonis 5). Väävli (S) sisaldus puursüdamikus on 0–6% vahel. Keskmiselt sisaldub väävlit puursüdamikus 0,3%. Enamjaolt jääävad väävli sisaldused kogu puuritud vahemikus alla 1%, küündides vaid üksikutes intervallides üle selle väärtsuse (Lisa 1 ja Joonis 5). Titaani (Ti) sisaldused jääävad proovis üldiselt 0 ja 0,8% vahele, üksikutel juhtudel

ulatuuvad sisaldused 1,7%-ni. Ti sisaldused on kõrgemad esimeese 160 m vahemikus, ulatudes valdavalt 0,6–0,8%-ni. Ülejäänud puursüdamiku kohta jäavat sisaldusesd valdavalt alla 0,3% (Lisa 1 ja Joonis 5). Mangaani (Mn) sisaldused käituvad sarnaselt Fe sisaldustega. Mn sisaldused vahemikes 444–506 m ja 551–700 m on enamjaolt 0,6 kuni 2,5% (keskmiselt 1,44%), ulatudes kohati 7,5–9%. Teistes vahemikes on Mn sisaldus valdavalt 0 või alla määramispiiri. Keskmene sisaldus kogu puursüdamiku peale on 0,83% (Lisa 1 ja Joonis 5).

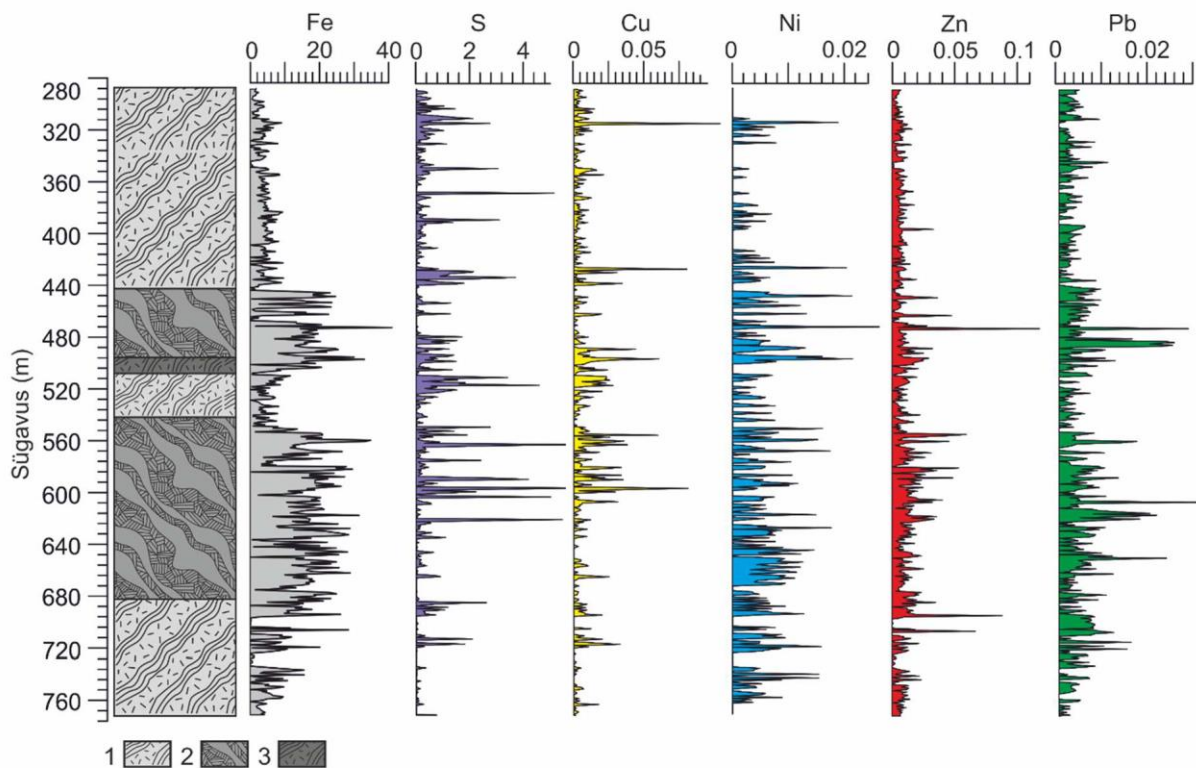


Joonis 5. Käsi-XRF-i põhielementide mõõtmistulemused (wt%-des). 1. biotiitgneiss, 2. raudkvartsit ja magnetiitgneiss, 3. granaatgneiss.

4.2 Jälgelementid

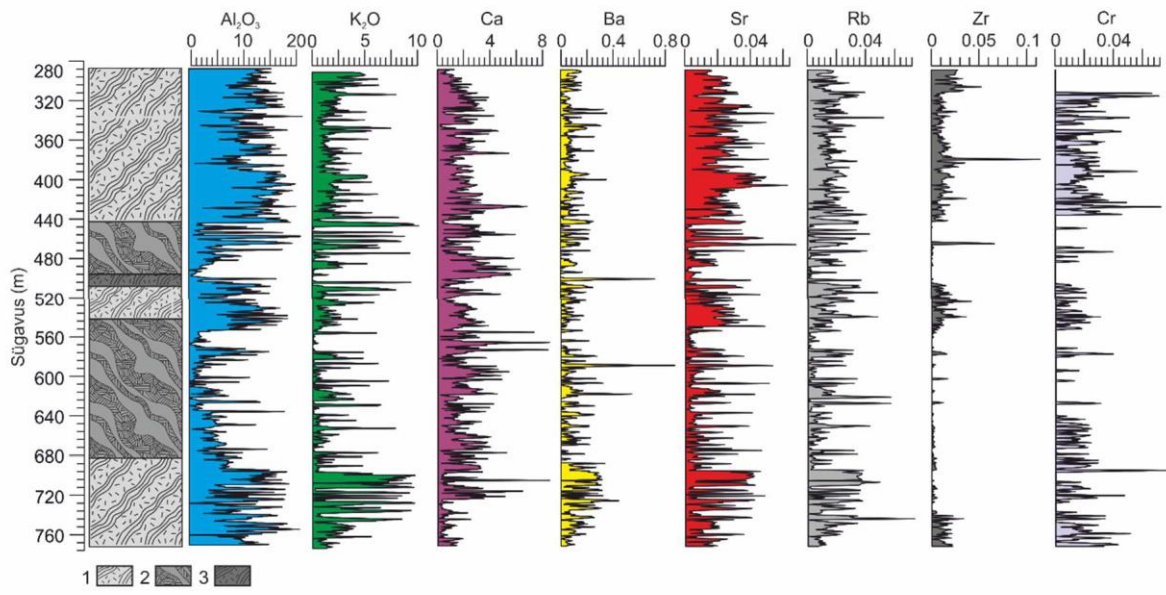
Nikli (Ni) sisaldused puursüdamikus esinevad vahemikus 0–0,0236% (Lisa 1 ja Joonis 6). Keskmene nikli sisaldus puursüdamikus on 0,0024%. Valdavalt on Ni sisaldused määramispiiri lähedal või alla selle. Nikli sisaldused käituvad valdavalt analoogselt raua sisaldustega. Vahemikes 444–506 m ja 551–700 m on näha nikli suuremaid sisaldusi, keskmiselt 0,0039%. Plii (Pb) sisaldused puursüdamikus on vahemikus 0–0,0286% (Lisa 1 ja Joonis 6). Keskmene plii sisaldus terves puursüdamikus on 0,0034%. Üldiselt on plii sisaldused konstantsed, kuid rauarikastes vahemikes tõusevad samuti ka plii sisaldused. Keskmene plii sisaldus rauarikastes kihtides on 0,0049%. Tsingi (Zn) sisaldused puursüdamikus varieeruvad 0-st 0,1098%-ni (Lisa 1 ja Joonis 6). Keskmene tsingi sisaldus puursüdamikus on 0,0092%. Rauarikkamates vahemikes tundub tsingi sisaldus olevat natukene suurem, keskmene sisaldus vahemikes 444–506 m ja 551–700 m on 0,0133%. Vase (Cu) sisaldus püürsüdamikus on vahemikus 0–0,0931%

(Lisa 1 ja Joonis 6). Keskmine vase sisaldus terve puursüdamiku kohta on 0,0045%. Vaske esineb enamjaolt alla 0,01%, esinevad üksikud kõrgemaid sisaldusi kajastavad piigid. Ka vaske esineb rauarikastes kihtides rohkem, keskmiselt leidub seal vaske 0,0054%.



Joonis 6. Jälgeelemendid Cu, Ni, Zn ja Pb vörrelduna Fe ja S-ga (wt%-des). 1. biotiitgneiss, 2. raudkvartsit ja magnetiitgneiss, 3. granaatgneiss.

Strontsiumi sisaldused puursüdamikus on vahemikus 0–0,0632% (Lisa 1 ja Joonis 7). Keskmine strontsiumi sisaldus on 0,0157%. Rubiidiumi sisaldused vahelduvad 0-st 0,0683%-ni (Lisa 1 ja Joonis 7). Keskmine rubiidiumi sisaldus puursüdamikus on 0,0124%. Tsirkooniumi sisaldused puursüdamikus varieeruvad 0-st 0,1066%-ni (Lisa 1 ja Joonis 7). Keskmine sisaldus kogu puursüdamikus on 0,0064%. Kroomi sisaldused puursüdamikus on vahemikus 0–0,0715% (Lisa 1 ja Joonis 7). Keskmine kroomi sisaldus puursüdamikus on 0,0082%. Baariumi (Ba) sisaldused puursüdamikus on vahemikus 0–0,7995% (Lisa 1 ja Joonis 7). Keskmine baariumi sisaldus on 0,0769%. Baariumi sisaldused on suhteliselt sarnased kogu südamiku väitel, jäädes enamjaolt alla 0,2%. Esinevad mõned üksikud kõrgemad piigid ning mõneti kõrgem sisaldus alates 710 m juurest kuni südamiku lõpuni.



Joonis 7. Jälgeelemendid Ba, Sr, Rb, Zr ja Cr vörrelduna Al_2O_3 , K_2O ja Ca-ga (wt%-des). 1. biotiitgneiss, 2. Raudkvartsii ja magnetiitgneiss, 3. granaatgneiss.

5. Arutelu

5.1 Käsi-XRF-i täpsus

Käsi-XRF-il (EDXRF) on madalam mõõtetäpsus võrreldes laboratoorsete WDXRF-idega. Määramispiiri (inglise keeles *limits of detection*) suurus sõltub seadme röntgentoru ja detektori eripäradest, samuti ka analüsaatori mõõtmetest ja mõõdetava proovi koostisest. Parimad tänapäevased käsi-XRF-id suudavad tavamõõtmistel tuvastada elemente magneesiumist uraanini. Käsi-XRF on täpsem keskmiste ja kõrgeate aatommassidega elementide puhul (K-Pb ja Th, U). Kergete elementide (Al, Mg, P, Si) analüüsimeesega kaasnevad mitmed piirangud, neist kõige olulisem on röntgenkiirguse neeldumine. Röntgenkiirguse neeldumist on tänapäeval püütud parandada paremate (võimsamate) detektorite ja/või heeliumi keskkonnas mõõtmise abil (Lemiere, 2018). Young *et al.*, (2016) näitas kasutades kergete elementide kalibreerimisandmeid, et Al, Mg ja P mõõtmistäpsus on halvem võrreldes raskemate elementidega nagu Ti, Ca ja Zr. Si mõõtmistäpsused jäavad eelpool mainitud elementide vahepeale. (Young, 2016).

Tippklassi Käsi-XRF-i määramispiirid on vahemikus 5–100 mg/kg kaaliumist raskematel ja pliist kergematel elementidel. Määramispiiri mõjutab ka emissioonijoonte kattumine, proovi maatriks, masina röntgenkiire diameetri suurus (väiksem võrreldes WDXRF-iga), madal mõõtmissügavus ning proovist pärinev niiskus (Lemiere, 2018). Käsi-XRF-i mõõtetäpsus oleneb ka mõõtmisajast, sisalduvate elementide kogustest ning masina sätetest. On leitud, et mida pikem on mõõtmisaeg ning mida suurem on mõõdetava elemendi kontsentratsioon proovis, seda täpsemad on lõpptulemused. Mõõtmisaeg on olulisem faktor väga madalate kontsentratsioonide juures. (Block, 2007; Hou *et al.*, 2004; Solo-Gabriele *et al.*, 2004). Lisaks ei saavutata käsi-XRF-i puhul samasugust proovi homogeensust nagu laboratoorsete WDXRF-ide puhul, kus proov vajab eelnevat ettevalmistamist.

Käsi-XRF-i üheks suurimaks eeliseks on just võimalus teostada mõõtmisi ilma, et kahjustatakse proovi ennast. Lisaks on käsi-XRF-i näol tegemist ideaalse mõõteriistaga, mida saab endaga välitöödele kaasa võtta ja mida kasutades on võimalik vähendada oluliselt hilisemate kulukamate analüüside arvu. EDXRF-ide mõõtmistulemused proovides, kus on tegemist raskemate elementidega (eg. metallide sulamid), on WDXRF-idega võrreldes tegelikult väga

sarnased (Young *et al.*, 2016). Probleeme võib tekkida siis, kui proovis esineb palju kergemaaid elemente (Al, Si, S), eriti magneesiumist kergemaaid, mida EDXRF masinad ei suuda mõõta.

5.2 Mõõtmistulemuste järeldus ning võrdlus eelmiste töödega

Käsi-XRF-iga saadud keemilise analüüsni tulemused võrrelduna Vagapova-Kadõrova, (1948); Puura *et al.*, (1967); Erisalu *et al.*, (1969) ning Petersell *et al.*, (1982) poolt läbiviidud mõõtmistega on mõneti erinevad (Tabel 1). Läänepoolsemal anomaaalial olevatest puursüdamikest, kuhu asukoha suhtes läheb ka puursüdamik Jõhvi-PA-2, leidus puursüdamikus J-1 raudkvartsiiti vahemikes 264,1–345 m ning 347–465,5 m, puursüdamikus J-2-s vahemikes 550–605 m ning 692,2–721,5 m ja puursüdamikus F1 vahemikus 264–443 m. Kui vaadata Jõhvi-PA-2 rauarikkamate intervallide keskmiseid sisaldusi (443,7–503,5 m ning 552,6–693,4 m), siis suurimad erinevused esinevad just raua sisaldustes. Käsi-XRF-i mõõdetud keskmised raua sisaldused raudkvartsiite sisaldavates intervallides (Joonis 5 ja Tabel 1) on 3–15% madalamad võrrelduna Vagapova-Kadõrova, (1948); Puura *et al.*, (1967); Erisalu *et al.*, (1969) ning Petersell *et al.*, (1982) andmetega. Ülejäänud elementide sisaldused on sarnasemad või sisuliselt samad (Tabel 1). Erinevused koostises võivad tuleneda rauarikka keha suurest heterogeensusest ning puurimisasukohtade erinevustest. Läänepoolseima anomaaalia kõrgemate rauasisaldusetega puursüdamike J-1 ja F1 omavaheline kaugus on 14 m, seestu uus Jõhvi-PA-2 on neist keskmiselt umbes 222 m kaugusel. Lisaks on oluline asjaolu, et eelnevates töödes kasutati kiviproovide üldkeemilise koostise leidmiseks märgkeemilist analüüsni.

Tabel 1. Vagapova-Kadõrova, (1948) ning Puura *et al.*, (1967) (puursüdamikud J-1 ja J-2); Erisalu *et al.*, (1969) ning Petersell *et al.*, (1982) (puursüdamikud F1, F2, F9 ja F12), koondatud Kivililla *et al.*, (1999) poolt, Erisalu *et al.*, (1969) (lääne, ida ja kirde), koondatud Shtokalenko *et al.*, (2009) poolt ja antud töös analüüsitud Jõhvi-PA-2 puursüdamiku raudkvartsiitsete vahemike keskmised sisaldused massiprotsentides.

	SiO ₂	Ti	Al ₂ O ₃	Fe _{total}	Mn	MgO	Ca	K ₂ O	P	S
J-1	47,38	0,15	3,99	28,29	2,11	3,25	3,29	0,40	0,02	0,51
J-2	50,22	0,20	6,70	22,08	2,76	3,51	3,84	0,74	0,05	0,40
F1	44,69	0,10	2,69	30,21	2,19	2,87	2,59	0,52	0,04	0,14
F2	50,26	0,21	8,98	20,21	1,7	3,77	2,63	1,43	0,06	0
F9	39,04	0,18	2,33	24,62	5,89	4,18	5,82	0,3	0,12	0,19

F12	49,8	0,21	10,39	18,29	1,53	3,33	2,62	2,68	0,10	0
Lääne		0,15		24,10	2,76	2,62	2,91		0,08	0,69
Ida		0,36		18,60	1,79	3,88	2,77		0,08	
Kirde		0,30		16,40	1,84	2,28	1,69		0,09	0,32
Jõhvi-PA-2 (443,7–503,5 m)	55,34	0,08	5,98	13,63	1,62	2,79	2,48	1,99	0,03	0,26
Jõhvi-PA-2 (552,6–693,4 m)	50,89	0,12	4,22	15,17	1,35	2,88	2,07	1,28	0,08	0,43
Jõhvi-PA-2 keskmine	53,11	0,10	5,10	14,4	1,48	2,83	2,27	1,64	0,06	0,34

Seevastu on saadud käsi-XRF-i raua mõõtmistulemused rohkem kooskõlas Erisalu *et al.*, (1969) tulemustega, kus raua sisaldused erinevad vähem Vagapova-Kadõrova, (1948); Puura *et al.*, (1967); Erisalu *et al.*, (1969) ning Petersell *et al.*, (1982) omadest (Tabel 1). Lisaks antud bakalaureusetöö raames tehtud mõõtmised kogu kristalse läbilõike raames viitavad sarnaselt Erisalu *et al.*, (1969) ning Luha, (1946) tulemustele, et rauasisaldused Jõhvi magnetanomaalsel alal on muutlikud. Üldiselt on tegemist madalate Fe sisaldustega (alla 20%), kus esinevad üksikud õhukesed rauarikkamat kihid, mille puhas rauasisaldus võib olla kuni 40% (Erisalu *et al.*, 1969; Luha, 1946) (Lisa 1 ja Joonis 5).

Vase (Cu), nikli (Ni), tsingi (Zn) ja plii (Pb) maksimumid ja miinimumid tunduvad hästi kokku minevat väävli (S) sisaldustega, mis viitab sulfiidsete mineraalide olemasolule (Joonis 6). Sisaldused esinevad üksikute kõrgemate piikidena või konstantsest madalate ja/või määramispriirist allpool olevate väärustustena, mis sobituvad üldjuhul hästi ka raua kõrgemate sisaldustega.

Kõrgemad strontsiumi (Sr), rubiidiumi (Rb), tsirkooniumi (Zr), kroomi (Cr) ja baariumi (Ba) sisaldused on seotud biotiitgneisse sisaldavate intervallidega (Joonis 7). Lisaks korreleeruvad nende elementide maksimumid ja miinimumid Al_2O_3 ja K_2O sisalduste muutustega, viidates nende elementide esinemisele savimineraalides, vilkudes ja/või päevakivides. Nende elementide suurenenud sisaldused esinevad vahemikes 287–440 m, 520–570 m ja 720–771 m (Joonis 7).

Varasemad tööd (Luha, 1946; Erisalu *et al.*, 1969) näitavad Jõhvi raudkvartriidis maakoore keskmistest kõrgemaid Cu ja Zn sisaldusi. Antud töö tulemused näitavad samuti keskmistes Cu ja Zn sisaldustes kõrgemaid sisaldusi vörreledes maakoore keskmistega (Tabel 2). Lisaks Cu ja Zn-le näitavad käsi-XRF-i analüüsides maakoore keskmistest kõrgemaid Pb sisaldusi. Nagu ka varasemate uuringute tulemused näitavad, on Cu, Zn ja Pb seotud sulfiididega. Osaliselt on sulfiididega seotud ka Ni, mis käib lisaks sulfiididele kaasas magnetiidiga (Joonis 6 ja Tabel 2). Lisaks eelnevale on Jõhvi raudkvartriitsetes vahemikes olulisemalt suuremad väävli (kõrgemad sulfiidsete mineraalide kontsentratsioonid) ning mangaani (erinevate granaatide ja pürokseenide koostises) sisaldused (Tabel 1), mida on näha ka varasemate puursüdamike andmete põhjal (Erisalu *et al.*, 1969). Väävli sisaldused ulatuvad mõningates proovides 6%-ni, millega kaasnevad ka kõrged Cu (0,07%), Zn (0,04%), Pb (0,01%) ja Ni (0,01%) sisaldused. Puursüdamikus Jõhvi-PA2 tähdeldati sulfiididest püriiti, pürrotiini ning kalkopüriiti, kuid anomalse ala teistest puursüdamikest on veel leitud ka galeniiti ja sfaleriiti, mis annavad põhjust jätkata uuringuid ka sulfiidse maagistumise selgitamiseks.

Tabel 2. Lääne, ida ja kirde ning Jõhvi-PA2 raudkvartriidi olulisemate jälgelementide keskmised sisaldused (ppm-ides). Varasemad analüüsides on tehtud poolkvantitatiivsel spektraalanalüüsmeetodil (Erisalu *et al.*, 1969).

	Ni	Cr	Cu	Zn	Pb
Jõhvi-PA-2 (443,7-503,5 m)	39	17	50	114	56
Jõhvi-PA-2 (552,6-693,4 m)	39	51	56	139	47
Jõhvi-PA-2 keskmine	39	34	53	127	51
Lääne	20	17	180	210	8,5
Ida	75	270	28	110	9,8
Kirde	32	410	31	150	8,9
Maakoore keskmine	58	18	47	83	16

5.3 Jõhvi raudkvartriidi kasumlikkus

Varasemate Jõhvi magnetilise anomalia uuringute tulemused, mis käsitlevad muuhulgas antud anomalia kasutuselevõttu potentsiaalse rauamaagina, on olnud eitavad. Tuues välja, et majanduslikult ei oleks see otstarbekas ning, et andmeid Jõhvi anomalse ala kohta on liiga vähe, et saada adekvaatset hinnangut raudkvartriidi potentsiaalsest tulust. (Suuroja, 1969;

Bradley, 2016; Kanter, 2017). Võrdluseks on toodud teisi rauamaake Põhjamaades, mida kaevandatakse, kuid nende maakide puhul on raua sisaldused kõrgemad, maagi üldised kogused suuremad või maagi kättesaadavus lihtsam võrreldes Jõhvi olukorraga (Bradley, 2016).

Eelnevat kinnitavad ka antud töös kajastuvad andmed. Raua keskmised sisaldused rauarikkamates kihtides (444–506 m ja 551–700 m) on madalad (14,92%). Et üldse jõuda rauarikkamate kihtideeni, tuleb esialgu eemaldada 444 m sette- ja moondekivimeid, kuhu hulka jäävad ka kolm veekihti. Lisaks on ebakindel Jõhvi raudkvartsiidi kogus. Petersell *et al.*, (1985) on arvutanud, et Jõhvi anomaaalia kuni ühe km sügavusele ulatuvaala raudkvartsiidi oletatav kogus on 1564 miljonit tonni. See on oletus, mille tegelik väärthus võib olla mitukümmend korda väiksem, sest see arv põhineb üksikute uuritud raudkvartsiidi kihtide raua sisaldustest ning võtab arvesse koos anomaailiate endiga ka anomaalia maksimumide vahelist ala, mille diameetriks kokku on 8 km. See võib olla ekslik, kuna andmetele tuginedes on anomaaalset ala kokku ainult 1,11 km². (Petersell *et al.*, 1985). Tuleb siiski tõdeda, et osadel Jõhvi puursüdamike jälegelementidel on märgatavalt kõrgemad sisaldused võrreldes maakoore keskmistega. Näiteks on väävli sisaldused rauarikkamates kihtides kuus korda kõrgemad maakoore keskmisest sisaldusest (0,30%), mangaani sisaldused neliteist korda kõrgemad (1,44%) ja plii sisaldused kolm korda kõrgemad (0,0049%), mis viitavad piirkonnas levivatele sulfiidsetele maagistumisnähtustele.

Kokkuvõte

Käesolevas töös on uuritud 2019. aastal puuritud Jõhvi puursüdamiku Jõhvi-PA2 keemilist koostist käsi-XRF TRACER 5i-ga. Töö eesmärk oli mõõta puursüdamiku esialgsed keemilise koostise varieerumised edasisteks täpsemateks uuringuteks, kus põhilisem rõhk oli raudkvartsiitsetel (magnetiiti ja sulfiide sisaldavatel) intervallidel.

Jõhvi-PA2 puursüdamiku näol oli tegemist migmatiidistunud erinevat tüüpi gneisiliste kivimitega. Uuritud puursüdamikus esines kaks intervalli kõrgemate raua sisaldustega. Nendeks kaheks vahemikuks olid sügavused 443,7–503,5 ning 552,6–693,4 meetrit, vastavatavalts keskmiste käsi-XRF-iga mõõdetud raua sisaldustega 13,63% ja 15,17%. Keskmene raua sisaldus kogu uuritud puursüdamiku (287,72–770,49 m) kohta on 8,4%. Raua kõrgete sisalduste vahemikega on seotud kõrgem Mn ja osaliselt ka Ni sisaldus. Fe ja Ni kõrgemad sisaldused on seotud lisaks Cu, Zn ja Pb sulfiididega. Rauavaesematele biotiit- ja granaatgneissidele on sarnaselt päevakividile ja/või savidele iseloomulik kõrgem Al_2O_3 , K_2O , Cr, Zr, Rb ja Sr sisaldused. Uurimustulemused võrreldes eelnevate töödega on sarnased. Suuremad erinevused ilmnesid raua sisaldustes.

Jõhvi raudkvartsiidi uurimist tuleks kindlasti jätkata. Antud töö põhineb käsi-XRF analüüsил, mis annab hea ülevaate järgnevate analüüside proovimiseks valitavate proovide valimiseks. Usaldusväärsemate keemiliste andmete saamiseks oleks vaja puursüdamikku analüüsida täpsemate meetoditega nagu WDXRF ja ICP. Lisaks oleks oluline määrrata mineraalne koostis XRD meetodiga, erinevate Fe sisaldavate mineraalide vahekorra leidmiseks. Laiema geokeemilise, mineraloogilise ja petrofüüsikalise andmestiku põhjal on kindlasti võimalik nii Jõhvi läänepoolse magnetanomaalia kui ka kogu Kirde-Eesti maagistumisilmngute kohta rohkem järeldusi teha ning koos maapealsete magnetvälja mõõtmistega ka edasisi uuringuid paremini planeerida.

Chemical analysis of iron quartzites from the Jõhvi area with the handheld XRF

The aim of this thesis was to measure the chemical composition of the Jõhvi magnetic anomaly for the upcoming more precise studies, where the main focus is on the intervals consisting mainly of iron quartzite (mangetite and sulphides). The measurements and analysis were conducted on the new drillcore Jõhvi-PA2 with the handheld XRF device TRACER 5i.

The Jõhvi-PA2 drillcore consists of different types of migmatized gneisses. Two intervals of high iron content were observed. Those being 443,7–503,5 and 552,6–693,4 meters, with an average iron content measured with the hXRF of 13,63% and 15,17% respectively. The average iron content throughout the drillcore (287,72–770,49 m) was 8,4%. With the higher content of iron there is also an increase in the contents of Mn and Ni. The higher contents of Fe and Ni are correlated with an increase of Cu, Zn and Pb sulphides. The biotite and garnet gneises containing less iron have much like feldspars and clay minerals, characteristically higher Al₂O₃, K₂O, Cr, Zr, Rb and Sr contents. Results of this thesis are comparable with previous papers concerning the Jõhvi magnetic anomaly. Some bigger differences did occur in the contents of iron.

Research on the Jõhvi iron quartzites should continue. This thesis is based on analysis with the handheld XRF device, which can be used to get a good overview for the sample selection for future studies. In order to get more reliable data, it would be necessary to conduct research with more precise equipment like the WDXRF and ICP. Furthermore, it would be important to determine the mineral composition of the drillcore with the XRD method, to find the proportions between minerals that contain Fe. With a wider range of geochemical, mineralogical and petrophysical data, it would be possible to make additional and more accurate analyzes on the western magnetic anomaly area of Jõhvi and about the ore rocks in Northeast Estonia. In addition, future research could be planned better through aboveground measuring of the magnetic field in the Jõhvi area.

Tänuavaldused

Töö autor soovib ennekõige tänada Peeter Somelari ning Siim Nirgit, kes toetasid töö valmimist pea igas etapis. Lisaks lähevad tänuavaldused Rauno Torbile ning Lennart Maalale, kes aitasid Arbaveres kärni kaste tõsta. Lõpetuseks veel tänusõnad Riho Mõtlepale, kes aitas käsi-XRF-i seadistada, juhendas masinaga toimetamisel ning rääkis ohutusest.

Kasutatud kirjandus

- Bekker, A., Slack, J., Planavsky, N., Krapez, B., Hofmann, A., Konhauser, K., Rouxel, O. (2010). Iron Formation: The Sedimentary Product of a Complex Interplay among Mantle, Tectonic, Oceanic, and Biospheric Processes. *Economic Geology*, 105, 467–508.
- Block, C. N., Shibata, T., Solo-Gabriele, H. M., Townsend, T. G., (2007). Use of handheld X-ray fluorescence spectrometry units for identification of arsenic in treated wood. *Environmental Pollution*, 148, 627–633.
- Bradley, J., (2016). A Review of the Jõhvi magnetite deposit. *SE687*, 1–12.
- Dalstra, H., Guedes, S., (2004). Giant hydrothermal hematite deposits with Mg-Fe metasomatism: A comparison of the Carajás, Hamersley, and other iron ores. *Economic Geology*, 99, 1793–1800.
- Erisalu, E., Arvisto, E., Norman, A., Danšenko, V., Koppelmaa, H., Niin, M., Kivisilla, J., (1969). Jõhvi magnetanomaalia piirkonna kristalne vundament (vene keeles). *Eesti Geoloogiateenistus*, EGF 3032.
- Haapala, I., Rämö, O.T., Frindt, S., (2005). Comparison of Proterozoic and Phanerozoic rift-related basaltic-granitic magmatism. *Lithos*, 80, 1–32.
- Holland, H. D., (2005). 100th anniversary special paper: Sedimentary mineral deposits and the evolution of Earth's nearsurface environments: *Economic Geology*, 100, 1489–1509.
- Hou, X., He, Y., Jones B. T., (2004). Recent advances in portable X-ray fluorescence spectrometry. *Applied Spectroscopy Reviews*, 39, 1–25.
- Kanter, S., (2017). Jõhvi rauamaagikaevanduse avamise eelprojekt. Tallinna Tehnikaülikool, Loodusteaduskond, Geoloogia instituut. Magistritöö, 1–68.

Kappler, A., Pasquero, C., Konhauser, K. O., Newman, D. K., (2005). Deposition of banded iron formations by anoxygenic phototrophic Fe(II)-oxidizing bacteria. *Geology*, 33, 865–868.

Katsuta, N., Shimizu, I., Helmstaedt, H., Takano, M., Kawakami, S., Kumazawa, M., (2012). Major element distribution in Archean banded iron formation (BIF): influence of metamorphic differentiation. *Journal of Metamorphic Geology*, 30, 457–472.

Kirs, J., Puura, V., Soesoo, A., Klein, V., Konsa, M., Koppelmaa, H., Niin, M., Urtson, K., (2009). The crystalline basement of Estonia: rock complexes of the Palaeoproterozoic Orosirian and Statherian and Mesoproterozoic Calymmian periods, and regional correlations. *Estonian Journal of Earth Sciences*, 58, 219–228.

Kivisilla, J., Niin, M., Koppelmaa, H., (1999). Catalogue of chemical analyses of major elements in the rocks of the crystalline basement of Estonia. *Eesti Geoloogiakeskus*, 1–94.

Klein, C., Ladeira, E. A., (2002). Petrography and geochemistry of the least altered banded iron-formation of the Archean Carajas formation, northern Brazil. *Economic Geology and the Bulletin of the Society of Economic Geologists*, 97, 643–651.

Klein, C., (2005). Some Precambrian banded iron-formations (BIFs) from around the world: Their age, geologic setting, mineralogy, metamorphism, geo-chemistry, and origin. *The American Mineralogist*, 90, 1473–1499.

Konhauser, K. O., Hamade, T., Raiswell, R., Morris, R. C., Ferris, F. G., Southam, G., Canfield, D. E., (2002). Could bacteria have formed the Precambrian banded iron formations? *Geology*, 30, 1079–1082.

Koppelmaa, H., (2002). Eesti kristalse alsukorra geoloogiline kaart mõõtkava 1:400 000 seletuskiri. *Eesti Geoloogiakeskus*, 1–32.

Lemiere, B., (2018). A Review of pXRF (Field Portable X-ray Fluorescence) Applications for Applied Geochemistry. *Journal of Geochemical Exploration*, 188, 350–363.

Linari, A., (1940). Aruanne sügavpuurimisest Jõhvi lähedal. Tallinna Tehnikaülikooli Toimetused, 15, 1–19.

Luha, A., (1946). Eesti NSV maavarad – Rakendusgeoloogiline kokkuvõtlik ülevaade. Teaduslik Kirjandus, 1–178.

Nirgi, S., (2019). Üldgeoloogilise uurimustöö loa taotlus: Jõhvi-1 magnetanomaalia uuringuruum. Seletuskiri. Eesti Geoloogiateenistus, 1–6.

Oda, J., Akimoto, K., Tomoda, T., (2013). Long-term global availability of steel scrap. Resources, Conservation and Recycling, 81, 81–91.

Ohmoto, H., Watanabe, Y., Yamaguchi, K. E., Naraoka, H., Haruna, M., Kakegawa, T., Hayashi, K., Kato, Y., (2006). Chemical and biological evolution of early Earth: Constraints from banded iron formations. Geological Society of America, 198, 291–331.

Petersell, V., Talpas, A., Põldvere, A., Petersell, E., (1982). Aruanne mustade metallide mineralisatsiooni ja maagi-ilmingute revisjonist Eesti Nsv kristalliinses vundamendis (vene keeles). Eesti Geoloogiateenistus, EGF 3952.

Petersell V., Talpas, A., Põldvere, A., (1985). Aruanne rauamaakide formatsioonide uurimisest (vene keeles). Eesti Geoloogiateenistus, EGF 4159.

Petersell, V., Kivisilla, J., Pukkonen, E., Põldvere, A., Täht, K., (1991). Maagiilmingute ja mineralisatsioonipunktide hindamine Eesti aluspõhjas ja aluskorras (vene keeles). Eesti Geoloogiateenistus, EGF 4523.

Pu, J. P., Bowring, S. A., Ramezni, J., Myrow, P., Raub, T. D., Landing, E. Mills, A., Hodgin, E., Macdonald, F. A., (2016). Dodging snowballs: Geochronology of the Gaskiers glaciation and the first appearance of the Ediacaran biota. Geology, 44, 955–958.

Puura, V., Kuuspalu, T., (1966). Eesti NSV metallogeegeeniline kaart mõõtkavas 1:500 000. Aruanne III. Maagi-ilmingud Jõhvi ja Uljasteala kristalliinses vundamendis (vene keeles). Eesti Geoloogiateenistus, EGF 2801.

Puura, V., Koppelmaa, H., Kivisilla, J., Kuuspalu, T., Perens, H., Mosina, V., (1967). Kristalliinse vundamendi uuringutulemused (vene keeles). Eesti Geoloogiateenistus, EGF 2982.

Puura, V., Vaher, R., Klein, V., Koppelmaa, H., Niin, M., Vanamb, V., Kirs, J., (1983). The crystalline basement of Estonian territory (vene keeles). Nauka, 1–208.

Puura, V., Huhma, H., (1993). Palaeoproterozoic age of the East Baltic granulitic crust. Precambrian Research, 64, 289–294.

Rasmussen, B., Krapež, B., Muhling, J.R., (2015). Precipitation of iron silicat nanoparticles in early Precambrian oceans marks Earth's first iron age: Geology, 43, 303–306.

Rõõmusoks, A., (1983). Eesti aluspõhja geoloogia. Valgus, 1–224.

Shtokalenko, M., Bromley-Challenor, M., Petersell, V., All, T., (2009). Seletuskiri Jõhvi uuringuruumi üldgeoloogilise uuringuloa taotluse juurde. Eesti Geoloogiateenistus–Geoforum Skandinavia AB, 1–26.

Smith, A. J. B., (2015). RESEARCH FOCUS: The life and times of banded iron formations. Geology, 43, 1111–1112.

Soesoo, A., Nirgi, S., Plado, J., (2020). The evolution of the estonian Precambrian basement: geological, geophysical and geochemical constraints. Proceedings of The Karelian Research Centre of The Russian Academy of Sciences, 2, 18–33.

Solo-Gabriele, H. M., Townsend, T. G., Hahn, D. W., Moskal, T. M., Hosein, N., Jambeck, J., Jacobi, G., (2004). Evaluation of XRF and LIBS technologies for on-line sorting of CCA-treated wood waste. Waste Management, 24, 413–424.

Song, Y., Nuo, W., Yu, A., (2019). Temporal and spatial evolution of global iron ore supply-demand and trade structure. Resources Policy, Volume 64, 1–12.

Suuroja, K., (1969). Jõhvi magnetiitse maagistumise iseloomust. Tartu Ülikool, Geoloogia kateeder. Diplomitöö, 1–88.

Trendall, A., (2013). Sedimentary rocks: Banded Iron Formations. Reference Module in Earth Systems and Environmental Sciences.

Vagapova-Kadõrova, M., (1948). ENSV eelkambriumi kristalliinsed kivimid ja rauakad kvartsiidid Jõhvi linna süvapuraukude materjalide alusel (vene keeles). Eesti Geoloogiateenistus, EGF 125.

Vardajants, L. A., (1960). Vene platvormi Eelkambriumi aluskorra geoloogiline kaart mõõtkavas 1:5 000 000. Seletuskiri (vene keeles). Gosgeoltekhizdat.

Viehmann, S., Bau, M., Smith, A. J. B., Beukes, N. J., Dantas, E. L., Bühn, B., (2015). The reliability of ~2.9 Ga old Witwatersrand banded iron formations (South Africa) as archives for Mesoarchean seawater: Evidence from REE and Nd isotope systematics: Journal of African Earth Sciences, 111, 322–334.

Voolma, M., (2007). Granaadi, biotiidi, pürokseeni keemilisest koostisest Jõhvi vööndi magnetiitkvartsiitides. Tartu Ülikooli Ökoloogia- ja Maateaduste Instituut, Geoloogia osakond. Bakalaureusetöö, 1–44.

Voolma, M., Soesoo, A., Hade, S., (2010). Geochemistry and P–T conditions of magnetite quartzites from Jõhvi Zone, NE Estonia. Res Terrae: Nordic Mineralogical Network, 31, 42–46.

Xylia, M., Silveira, S., Duerinck, J., Meinke-Hubney, F., (2018). Weighing regional scrap availability in global pathways for steel production processes. Energy Efficiency, 11, 1135–1159.

Young, K. E., Evans, C. A., Hodges, K. V., Bleacher, J. E., Graff, T. G., (2016). A review of the handheld X-ray fluorescence spectrometer as a tool for field geologic investigations on Earth and in planetary surface exploration. Applied Geochemistry, 72, 77–87.

Internetallikad

Brukeri kodulehekülg XRF meetodi tööpõhimõtte kohta.

<https://www.bruker.com/products/x-ray-diffraction-and-elemental-analysis/handheld-xrf/how-xrf-works.html> (Vaadatud 30.04.2020).

Eesti Geoloogiateenistuse puursüdamike andmebaas.

<https://geoportal.maaamet.ee/est/Ruumiandmed/Geoloogilised-andmed/Puursudamike-andmebaas-p382.html> (Vaadatud 24.04.2020).

Maa-ameti kaardirakendus.

<https://xgis.maaamet.ee/maps/XGis> (Vaadatud 24.04.2020).

ThermoFisher'i lühiartikkel käsi-XRF-i ja laboratoorse XRF-i erinevustest.

<https://www.thermofisher.com/blog/metals/laboratory-based-xrf-vs-handheld-xrf-whats-the-difference/> (Vaadatud 08.05.2020).

Lisad

Lisa 1. Käsi-XRF tulemused Jõhvi-PA2 puuraugus. Süg. -sügavus meetrites ja sisaldused wt%.

Süg. (m)	MgO	Al ₂ O ₃	SiO ₂	K ₂ O	Ca	Mn	Fe	Ti	P	S	Cr	Ni	Cu	Zn	Pb	Rb	Sr	Zr	Ba
287.7	1.68	15.24	66.87	4.20	1.22	< LOD	1.61	0.14	< LOD	< LOD	< LOD	< LOD	0.002	0.006	0.004	0.011	0.014	0.026	0.088
288.7	2.11	12.67	57.08	5.17	0.63	< LOD	1.41	0.12	< LOD	< LOD	< LOD	< LOD	0.006	0.005	0.003	0.017	0.015	0.024	0.131
289.7	2.01	12.34	69.96	5.38	0.50	< LOD	1.23	0.06	< LOD	0.333	< LOD	< LOD	0.001	0.005	0.003	0.016	0.013	0.024	0.148
290.7	2.25	13.67	64.96	5.64	0.64	< LOD	2.23	0.08	< LOD	0.374	< LOD	< LOD	0.004	0.005	0.004	0.015	0.013	0.024	0.129
291.7	1.78	15.22	67.76	5.04	0.21	< LOD	1.51	0.10	< LOD	< LOD	< LOD	< LOD	0.002	0.004	< LOD	0.007	0.005	0.024	0.048
292.7	1.81	11.91	66.25	2.63	1.03	< LOD	1.56	0.06	< LOD	< LOD	< LOD	< LOD	0.002	0.003	0.002	0.006	0.013	0.023	0.052
293.7	< LOD	10.75	75.85	3.20	1.20	< LOD	0.72	0.03	< LOD	0.255	< LOD	< LOD	0.008	0.004	0.003	0.007	0.014	0.014	0.041
294.7	< LOD	13.31	68.93	6.90	0.87	< LOD	0.68	0.01	< LOD	0.492	< LOD	< LOD	0.002	0.001	0.003	0.019	0.023	0.016	0.114
295.7	1.51	11.63	70.14	5.07	1.02	< LOD	0.49	< LOD	< LOD	0.404	< LOD	< LOD	< LOD	0.001	0.003	0.017	0.024	0.020	0.101
296.7	< LOD	14.37	70.26	3.97	1.79	< LOD	1.08	0.04	< LOD	0.059	< LOD	< LOD	0.004	0.003	0.004	0.014	0.024	0.031	0.089
297.8	< LOD	9.86	76.72	0.23	1.66	0.16	3.74	< LOD	0.002	0.004	< LOD	0.000	0.010	0.004	< LOD				
298.8	< LOD	12.91	70.95	5.23	0.98	< LOD	1.85	0.12	< LOD	0.335	< LOD	< LOD	0.003	0.002	0.004	0.019	0.021	0.017	0.099
299.8	< LOD	11.03	59.94	0.50	1.76	< LOD	1.16	0.05	< LOD	0.001	0.002	0.002	0.021	0.024	< LOD				
300.8	< LOD	15.20	62.11	7.03	0.93	0.01	3.67	0.33	0.028	0.930	< LOD	< LOD	0.003	0.007	0.005	0.027	0.026	0.025	0.148
301.8	1.61	8.96	53.14	4.45	0.43	0.14	3.83	< LOD	0.002	0.003	0.019	0.019	0.004	0.103					
302.8	1.63	16.05	58.77	1.41	2.51	0.02	2.49	0.13	< LOD	1.294	< LOD	< LOD	0.013	0.005	0.002	0.007	0.026	0.030	< LOD
303.8	1.73	9.83	59.76	3.43	0.95	< LOD	1.86	0.07	< LOD	0.004	0.003	0.013	0.025	0.023	0.147				
304.8	2.17	6.86	80.23	0.87	1.04	0.02	2.24	0.25	< LOD	0.490	< LOD	< LOD	0.011	0.008	< LOD	0.004	0.011	0.049	0.046
305.7	< LOD	12.58	79.10	0.92	2.31	< LOD	0.50	< LOD	< LOD	0.296	< LOD	< LOD	0.012	0.002	0.002	0.005	0.016	0.023	< LOD
306.35	1.35	7.56	50.07	2.49	1.51	0.02	1.03	0.06	< LOD	< LOD	< LOD	< LOD	0.003	0.006	< LOD	0.011	0.011	0.021	0.048
307.35	< LOD	7.44	58.25	1.85	1.03	< LOD	0.62	0.01	< LOD	0.127	< LOD	< LOD	0.003	0.001	0.004	0.009	0.017	0.018	0.085
308.35	< LOD	13.02	59.79	3.48	1.66	0.01	2.48	0.21	< LOD	0.706	< LOD	< LOD	< LOD	0.009	0.005	0.015	0.024	0.032	0.144
309.32	< LOD	14.61	66.75	3.72	2.16	0.01	1.58	0.15	< LOD	1.175	< LOD	< LOD	0.005	0.003	0.003	0.010	0.022	0.029	0.061
310.35	< LOD	14.79	54.86	8.85	0.91	0.01	0.56	< LOD	< LOD	1.901	< LOD	< LOD	0.010	< LOD	0.008	0.037	0.030	0.010	< LOD
311.35	2.20	12.04	54.85	2.84	2.94	0.07	5.05	0.50	0.041	0.856	0.062	0.003	0.004	0.008	< LOD	0.021	0.010	0.013	< LOD
312.15	3.19	17.58	54.71	2.73	2.54	0.03	3.03	0.45	0.026	0.488	0.013	< LOD	< LOD	0.008	0.001	0.014	0.030	0.005	0.026
313.15	4.40	8.39	32.95	2.30	2.03	0.03	3.59	0.43	0.059	0.149	< LOD	< LOD	0.004	0.004	< LOD	0.033	0.009	0.008	< LOD
314.15	5.66	11.57	53.92	2.71	1.56	0.18	8.43	0.45	0.040	2.467	0.067	0.017	0.093	0.012	< LOD	0.023	0.005	0.003	< LOD
315	6.07	10.97	48.99	3.07	1.69	0.07	6.19	0.46	0.078	0.472	0.047	0.006	0.011	0.011	< LOD	0.032	0.008	0.008	0.042

Süg. (m)	MgO	Al ₂ O ₃	SiO ₂	K ₂ O	Ca	Mn	Fe	Ti	P	S	Cr	Ni	Cu	Zn	Pb	Rb	Sr	Zr	Ba	
315.85	3.42	16.31	61.06	2.89	3.76	0.02	4.40	0.50	0.049	0.229	0.028	< LOD	0.005	0.007	< LOD	0.021	0.021	0.011	0.054	
316.85	3.12	6.39	27.49	1.32	1.52	0.01	3.58	0.24	0.039	0.117	0.024	0.003	< LOD	0.006	< LOD	0.020	0.023	0.009	0.067	
317.9	3.45	13.18	51.38	2.63	2.02	0.02	6.22	0.51	0.054	0.263	0.028	0.007	0.010	0.015	0.002	0.021	0.020	0.011	0.056	
318.7	< LOD	17.33	70.55	0.64	3.62	0.03	1.60	< LOD	< LOD	0.670	< LOD	< LOD	0.001	0.004	0.002	0.002	0.022	< LOD	< LOD	
319.7	3.56	12.54	52.96	2.97	2.21	0.02	5.53	0.68	0.080	0.915	0.026	0.005	0.012	0.009	< LOD	0.020	0.018	0.011	0.039	
320.5	2.70	16.28	64.17	2.45	2.72	0.02	3.57	0.61	< LOD	0.137	0.028	< LOD	0.002	0.007	0.002	0.014	0.022	0.015	0.027	
321.5	2.31	10.52	86.23	0.92	1.65	< LOD	0.90	0.08	< LOD	0.254	< LOD	< LOD	0.001	0.002	0.001	0.005	0.011	0.002	< LOD	
322.5	3.85	14.24	52.99	2.35	3.07	< LOD	3.97	0.48	0.065	0.604	0.023	< LOD	0.007	0.006	0.002	0.021	0.019	0.009	0.060	
323.5	2.90	12.37	46.28	1.92	2.61	< LOD	3.54	0.40	0.045	0.261	0.021	0.003	< LOD	0.006	0.002	0.017	0.037	0.010	0.070	
324.3	3.85	17.34	62.75	2.61	2.95	< LOD	4.11	0.62	0.035	0.301	0.027	0.006	< LOD	0.008	0.003	0.018	0.031	0.012	0.074	
325.3	1.81	14.14	63.20	1.84	2.73	< LOD	2.93	0.50	< LOD	0.451	0.019	< LOD	< LOD	0.006	0.002	0.012	0.038	0.008	0.044	
326.4	3.97	17.68	64.70	3.84	0.43	< LOD	3.55	0.28	< LOD	0.344	< LOD	< LOD	< LOD	0.008	0.002	0.011	0.008	0.014	0.080	
327	1.84	16.54	62.65	0.97	3.29	< LOD	0.96	0.13	0.035	0.075	< LOD	< LOD	< LOD	0.002	0.001	0.004	0.030	0.007	0.018	
328	< LOD	10.92	72.14	5.74	0.42	< LOD	0.27	< LOD	< LOD	0.127	< LOD	< LOD	< LOD	0.001	0.007	0.021	0.027	0.011	0.300	
329	2.34	7.26	62.26	1.47	3.45	0.10	3.47	0.19	0.032	0.033	0.008	< LOD	< LOD	0.002	< LOD	0.007	0.003	0.005	0.019	
330	3.26	11.80	29.44	2.33	2.07	0.07	7.41	1.54	< LOD	1.017	0.032	0.007	0.007	0.014	0.003	0.023	0.029	0.025	0.047	
330.7	< LOD	1.84	12.36	0.90	0.39	0.10	2.11	0.64	< LOD	0.004	0.002	0.012	0.021	0.016	0.067					
331.7	< LOD	4.16	19.68	3.15	0.51	< LOD	0.07	0.37	< LOD	0.002	0.007	0.026	0.051	< LOD	0.326					
332.7	< LOD	8.39	67.31	1.55	0.64	< LOD	0.04	0.27	< LOD	0.003	0.001	0.005	0.022	0.006	0.026					
333.7	1.70	14.29	75.75	0.62	2.12	0.19	2.75	0.08	< LOD	0.303	0.015	< LOD	0.003	0.004	0.002	0.004	0.012	0.005	< LOD	
334.6	1.78	12.21	73.65	0.88	4.16	0.03	1.01	0.10	< LOD	0.002	0.002	0.005	0.018	0.018	0.019					
335.3	2.56	10.08	44.69	1.47	1.91	0.02	4.35	0.44	< LOD	0.309	0.026	< LOD	0.007	0.010	< LOD	0.017	0.025	0.011	0.031	
336.1	4.34	20.94	48.01	5.55	1.34	0.02	5.06	0.71	0.070	0.254	0.048	< LOD	0.005	0.009	0.002	0.049	0.013	0.013	0.146	
337.1	< LOD	5.73	90.46	0.47	1.22	< LOD	1.46	0.04	< LOD	0.034	0.030	< LOD	0.002	0.003	0.001	0.005	0.011	0.002	0.020	
338.1	2.30	13.67	62.17	1.43	2.95	< LOD	2.54	0.34	0.037	< LOD	0.012	< LOD	< LOD	0.004	0.003	0.013	0.029	0.010	0.058	
339.2	2.19	7.99	55.37	0.98	1.98	< LOD	2.00	0.25	0.020	0.053	0.012	< LOD	0.002	0.005	0.002	0.010	0.023	0.011	0.034	
339.9	2.86	7.75	41.93	0.73	1.26	0.09	4.30	0.18	0.033	0.162	< LOD	< LOD	0.002	0.011	< LOD	0.013	0.013	0.008	0.065	
340.9	1.65	9.11	29.82	1.06	2.38	< LOD	3.70	0.32	0.029	0.071	< LOD	< LOD	0.001	0.008	0.004	0.016	0.046	0.012	0.080	
341.55	2.12	9.42	37.12	0.99	2.68	< LOD	3.59	0.32	0.049	< LOD	0.017	< LOD	< LOD	0.008	0.003	0.013	0.035	0.007	0.066	
342.55	2.27	12.55	56.16	1.49	2.51	0.01	2.89	0.37	0.040	0.277	0.018	< LOD	0.004	0.009	< LOD	0.014	0.017	0.010	0.032	
343.55	1.90	9.57	53.74	6.02	0.19	< LOD	0.43	< LOD	< LOD	0.067	< LOD	< LOD	0.002	0.001	0.010	0.027	0.016	0.005	0.255	
344.55	< LOD	13.69	67.78	8.31	0.30	< LOD	0.07	< LOD	< LOD	0.052	< LOD	0.031	0.033	< LOD	0.285					

Süg. (m)	MgO	Al ₂ O ₃	SiO ₂	K ₂ O	Ca	Mn	Fe	Ti	P	S	Cr	Ni	Cu	Zn	Pb	Rb	Sr	Zr	Ba
345.15	< LOD	2.20	84.23	0.88	0.21	< LOD	0.20	< LOD	< LOD	0.262	< LOD	< LOD	< LOD	0.001	< LOD	0.003	0.002	0.004	0.027
346.15	1.52	3.85	73.12	2.05	0.45	< LOD	0.22	< LOD	< LOD	0.581	< LOD	< LOD	< LOD	0.001	0.003	0.010	0.011	0.013	0.162
347.15	< LOD	15.79	64.40	6.24	1.35	< LOD	0.75	< LOD	0.082	0.159	< LOD	< LOD	0.002	0.001	0.007	0.023	0.027	0.006	0.186
348.15	< LOD	8.46	76.75	5.13	0.29	< LOD	0.06	< LOD	< LOD	0.129	< LOD	< LOD	0.001	0.001	0.004	0.020	0.019	< LOD	0.163
349	3.17	14.19	52.15	1.78	3.93	< LOD	4.28	0.45	0.060	2.731	0.033	< LOD	0.011	0.008	0.003	0.014	0.029	0.010	0.054
350	2.74	18.18	44.00	2.37	4.49	0.01	5.02	0.60	0.126	0.761	0.042	0.003	0.015	0.009	0.003	0.022	0.030	0.010	0.096
350.95	2.50	13.35	62.74	1.61	2.73	0.01	3.38	0.47	0.072	0.201	0.032	< LOD	0.008	0.006	0.002	0.011	0.021	0.010	0.055
351.95	1.50	5.32	87.27	0.81	1.31	< LOD	1.54	0.20	< LOD	0.434	< LOD	< LOD	0.006	0.002	< LOD	0.004	0.006	0.002	0.026
352.95	2.47	14.85	66.63	1.64	3.76	< LOD	3.02	0.41	0.078	0.442	0.025	< LOD	0.004	0.006	< LOD	0.013	0.021	0.007	0.045
353.6	2.21	10.12	41.38	1.12	1.68	0.25	7.80	0.35	0.041	0.321	0.014	< LOD	0.019	0.006	0.004	0.011	0.018	0.008	0.050
354.55	3.05	9.05	66.81	1.24	0.68	0.16	7.82	0.18	< LOD	0.011	< LOD	0.007	0.002	0.006	< LOD				
355.55	1.90	15.24	60.33	5.92	1.19	< LOD	2.39	0.37	< LOD	< LOD	0.014	< LOD	0.002	0.005	0.006	0.024	0.031	0.011	0.238
356.55	< LOD	9.12	48.33	1.08	1.38	< LOD	2.55	0.18	< LOD	0.308	< LOD	0.002	0.003	0.003	0.003	0.011	0.024	0.007	0.051
357.4	2.63	15.65	60.85	1.81	2.62	0.01	3.99	0.51	0.042	0.211	0.014	< LOD	0.008	0.009	0.002	0.013	0.028	0.013	0.058
358.4	2.50	9.40	42.96	1.39	2.47	< LOD	2.96	0.39	0.050	< LOD	< LOD	< LOD	< LOD	0.007	0.003	0.015	0.036	0.011	0.072
359.4	2.01	5.58	32.64	0.93	1.83	< LOD	3.27	0.21	0.023	0.031	0.009	< LOD	< LOD	0.006	< LOD	0.015	0.027	0.006	0.082
360.4	2.02	11.10	57.04	1.27	3.50	0.01	4.39	0.32	0.042	0.068	0.032	< LOD	0.006	0.008	< LOD	0.011	0.028	0.011	0.065
361.4	2.61	8.57	44.41	1.43	2.27	0.12	5.03	0.40	0.037	0.160	0.023	< LOD	0.002	0.008	< LOD	0.014	0.017	0.008	0.059
362.1	2.16	10.78	45.67	1.29	2.40	0.01	2.92	0.34	0.027	< LOD	0.027	< LOD	< LOD	0.006	0.003	0.013	0.045	0.018	0.076
363.1	2.47	9.60	29.90	1.68	1.63	0.01	4.01	0.50	< LOD	0.026	0.027	< LOD	0.004	0.006	0.003	0.017	0.023	0.014	0.058
364.1	1.49	10.42	48.79	0.76	2.09	< LOD	2.05	0.27	< LOD	< LOD	0.009	< LOD	< LOD	0.004	< LOD	0.008	0.021	0.011	0.024
365.1	3.87	16.05	73.02	3.67	0.45	0.02	4.80	0.31	< LOD	0.008	< LOD	0.015	0.012	0.013	0.079				
366.1	2.22	14.38	53.85	1.29	2.71	0.01	2.89	0.33	< LOD	< LOD	0.008	< LOD	< LOD	0.016	< LOD	0.008	0.038	0.019	0.043
367.1	3.46	15.15	62.71	0.99	0.58	0.01	3.93	0.19	< LOD	0.007	< LOD	0.007	0.006	0.012	0.042				
368	< LOD	11.76	43.54	3.24	2.56	0.02	5.18	0.42	0.029	4.613	0.015	< LOD	0.005	0.010	0.003	0.019	0.018	0.016	0.145
368.9	3.18	16.82	59.65	1.72	2.15	0.03	4.40	0.43	0.040	0.078	0.016	0.003	< LOD	0.007	0.002	0.012	0.023	0.016	0.043
369.85	1.67	9.45	46.45	5.21	0.33	< LOD	1.77	0.20	< LOD	0.003	0.005	0.025	0.028	0.010	0.234				
370.7	2.68	9.57	43.98	1.14	2.21	0.01	3.05	0.28	0.053	0.249	0.016	< LOD	0.006	0.004	0.003	0.010	0.021	0.013	0.047
371.45	2.91	14.99	50.38	2.51	3.13	0.01	4.50	0.52	0.079	0.477	0.027	< LOD	0.011	0.010	0.002	0.022	0.022	0.007	0.081
372.45	3.18	15.26	54.75	1.92	5.27	0.03	5.46	0.54	0.102	0.218	0.015	< LOD	0.007	0.004	0.002	0.013	0.025	0.010	0.043
373.45	2.07	14.55	66.47	1.67	2.63	0.06	3.71	0.42	0.083	0.094	< LOD	< LOD	< LOD	0.005	0.003	0.008	0.026	0.010	0.043
374.4	1.95	10.49	49.00	2.75	1.56	< LOD	2.12	0.35	< LOD	< LOD	0.009	< LOD	< LOD	0.006	0.005	0.014	0.030	0.011	0.103

Süg. (m)	MgO	Al2O3	SiO2	K2O	Ca	Mn	Fe	Ti	P	S	Cr	Ni	Cu	Zn	Pb	Rb	Sr	Zr	Ba
375.4	4.82	18.09	44.09	2.97	1.09	0.01	4.31	0.64	0.085	< LOD	0.022	< LOD	< LOD	0.006	< LOD	0.014	0.023	0.020	0.059
376.4	1.84	6.37	59.65	2.35	0.94	0.01	3.87	0.27	< LOD	0.095	0.029	< LOD	0.004	0.017	0.001	0.016	0.011	0.011	0.088
377.35	4.08	9.54	62.45	1.95	1.92	0.04	3.88	0.65	< LOD	0.140	0.017	0.003	0.002	0.005	< LOD	0.013	0.010	0.033	0.031
378.3	1.59	8.76	24.57	0.80	1.96	0.03	4.57	0.05	< LOD	0.443	0.014	0.004	0.004	0.005	0.004	0.011	0.048	0.107	< LOD
379.3	1.65	4.24	21.68	2.44	0.20	0.01	3.51	0.07	< LOD	< LOD	0.010	< LOD	0.003	0.006	0.003	0.022	0.018	0.010	0.126
380.3	6.61	11.33	43.20	4.11	1.39	0.04	4.91	0.67	0.056	0.159	0.028	< LOD	0.004	0.011	< LOD	0.032	0.018	0.006	0.120
380.95	3.08	6.96	51.70	1.74	1.12	0.02	4.80	0.41	< LOD	0.172	0.027	< LOD	0.010	0.006	0.002	0.017	0.018	0.012	0.030
381.95	1.87	7.22	37.96	1.06	1.18	0.07	3.74	0.20	< LOD	< LOD	0.013	< LOD	< LOD	0.005	0.001	0.016	0.018	0.033	0.021
382.95	4.81	10.75	46.87	1.34	0.78	0.85	8.76	0.19	< LOD	0.063	0.021	0.002	0.005	0.009	< LOD	0.011	0.010	0.021	0.033
383.85	2.57	1.13	9.21	0.48	0.52	0.83	7.92	0.07	< LOD	0.008	< LOD	0.013	0.010	0.022	0.030				
384.85	3.41	13.99	62.48	2.08	2.06	0.62	7.67	0.39	< LOD	0.335	0.029	0.006	0.007	0.005	< LOD	0.012	0.023	0.012	0.033
385.85	3.09	17.57	56.74	2.70	2.54	0.07	2.97	0.30	< LOD	0.188	0.012	< LOD	0.004	0.004	0.003	0.013	0.033	0.027	0.055
386.6	5.24	15.42	52.68	3.83	1.88	0.03	5.76	0.91	< LOD	0.116	0.022	0.003	0.002	0.011	0.003	0.027	0.025	0.015	0.073
387.6	3.34	8.80	78.71	1.24	1.40	0.02	2.15	0.24	0.025	0.249	0.020	< LOD	0.005	0.003	< LOD	0.007	0.014	0.008	0.029
388.6	3.22	7.30	65.96	0.80	1.46	0.39	7.23	0.14	< LOD	2.785	0.023	< LOD	0.002	0.004	< LOD	0.004	0.004	0.003	< LOD
389.6	5.32	11.75	58.45	2.93	2.24	0.07	4.53	0.51	< LOD	< LOD	0.018	< LOD	0.002	0.009	< LOD	0.020	0.025	0.011	0.064
390.5	5.74	9.39	50.64	2.14	2.65	0.11	6.87	0.44	0.049	1.226	0.053	0.005	0.009	0.008	< LOD	0.020	0.021	0.007	0.080
391.5	5.00	11.58	69.81	2.51	2.44	0.02	3.50	0.40	< LOD	0.287	0.021	< LOD	0.002	0.006	< LOD	0.017	0.016	0.007	0.064
392.5	3.79	16.94	55.13	5.84	1.34	0.01	4.40	0.62	< LOD	0.318	0.020	< LOD	0.002	0.006	0.005	0.021	0.036	0.015	0.138
393.4	2.86	15.89	57.20	5.76	1.36	< LOD	3.21	0.48	< LOD	0.131	0.023	< LOD	0.001	0.005	0.005	0.023	0.040	0.018	0.204
394.4	2.86	14.25	51.21	5.83	1.00	0.02	4.14	0.45	< LOD	0.206	0.012	0.003	0.002	0.006	0.005	0.023	0.036	0.017	0.170
395.2	3.29	17.40	49.63	5.42	1.36	0.02	4.70	0.70	< LOD	0.174	0.031	< LOD	0.004	0.031	0.004	0.025	0.030	0.018	0.118
396.2	3.75	17.86	50.48	3.39	2.28	0.01	4.42	0.80	< LOD	0.151	0.012	0.003	< LOD	0.007	0.003	0.018	0.046	0.023	0.071
397.2	3.97	17.90	57.96	2.54	2.67	0.02	3.89	0.69	0.081	0.060	0.014	< LOD	0.002	0.008	0.002	0.015	0.045	0.013	0.076
398.2	4.41	13.99	53.71	2.20	1.49	0.32	6.09	0.52	0.044	0.217	0.024	< LOD	0.001	0.007	< LOD	0.012	0.028	0.013	0.071
399.05	2.20	14.82	61.84	6.26	0.85	0.21	5.97	0.38	0.063	0.048	0.017	< LOD	< LOD	0.007	0.005	0.019	0.041	0.010	0.323
399.95	2.86	16.79	56.33	2.03	2.36	0.10	4.59	0.46	0.044	0.300	0.010	< LOD	< LOD	0.005	0.003	0.010	0.043	0.010	0.064
400.95	2.68	14.19	66.44	1.76	2.07	0.10	4.53	0.33	0.066	0.298	0.015	< LOD	< LOD	0.007	0.003	0.013	0.033	0.011	0.100
401.85	4.12	15.91	58.40	2.17	2.28	0.05	3.44	0.50	0.032	0.121	0.010	< LOD	0.002	0.006	0.003	0.010	0.038	0.010	0.078
402.75	3.44	12.67	56.84	2.04	1.63	0.10	4.24	0.40	< LOD	0.146	0.013	< LOD	0.007	0.007	0.002	0.010	0.030	0.011	0.073
403.75	3.78	16.66	44.95	2.78	2.20	0.17	6.03	0.60	0.055	< LOD	< LOD	< LOD	< LOD	0.009	0.002	0.017	0.040	0.015	0.113
404.6	2.60	19.64	56.80	2.20	2.92	0.11	3.94	0.41	0.036	< LOD	0.011	< LOD	0.001	0.005	0.003	0.007	0.058	< LOD	0.048

Süg. (m)	MgO	Al2O3	SiO2	K2O	Ca	Mn	Fe	Ti	P	S	Cr	Ni	Cu	Zn	Pb	Rb	Sr	Zr	Ba
405.6	3.58	18.88	49.12	2.71	2.71	0.22	7.62	0.67	0.060	< LOD	0.019	< LOD	< LOD	0.011	0.002	0.016	0.039	0.015	0.091
406.6	4.33	15.74	50.47	2.99	2.37	0.10	5.38	0.69	0.056	0.333	0.020	< LOD	0.005	0.010	< LOD	0.021	0.035	0.018	0.059
407.37	4.81	15.45	56.59	3.97	1.91	0.04	5.08	0.73	0.074	0.125	0.012	< LOD	0.003	0.012	0.003	0.025	0.031	0.015	0.105
408.4	1.44	8.02	86.41	0.63	1.40	< LOD	0.13	< LOD	0.001	0.014	0.003 < LOD								
409.4	3.92	14.39	53.10	2.51	2.30	0.03	3.18	0.57	< LOD	0.194	0.021	< LOD	0.009	0.006	0.002	0.014	0.028	0.013	0.042
410.38	3.86	13.39	53.54	1.48	1.58	0.03	3.96	0.37	< LOD	0.714	0.012	< LOD	0.002	0.007	< LOD	0.011	0.017	0.012	0.030
411.3	3.76	19.15	53.90	6.90	0.89	0.02	4.21	0.64	< LOD	< LOD	0.013	< LOD	0.002	0.004	0.004	0.027	0.025	0.021	0.147
412.3	4.18	16.83	66.56	3.14	1.01	< LOD	2.84	0.26	< LOD	< LOD	0.010	< LOD	< LOD	0.005	0.003	0.016	0.021	0.012	0.165
413.45	3.08	15.39	60.41	1.51	3.30	0.21	6.80	0.36	0.090	0.142	0.030	0.004	0.011	0.009	< LOD	0.013	0.021	0.008	0.063
414.1	2.86	17.26	61.62	2.26	3.32	< LOD	3.59	0.56	0.037	0.150	0.030	< LOD	0.005	0.007	0.002	0.011	0.020	0.010	0.037
415.1	3.34	16.84	63.22	2.01	3.16	0.01	3.62	0.44	0.099	< LOD	0.022	< LOD	< LOD	0.007	0.002	0.013	0.024	0.012	0.033
416.1	3.26	14.21	61.76	1.87	2.85	0.11	4.77	0.44	0.086	< LOD	0.017	< LOD	< LOD	0.007	< LOD	0.011	0.020	0.009	0.055
417	4.21	11.77	54.26	3.00	1.70	0.05	4.57	0.63	< LOD	0.244	0.029	0.004	0.004	0.010	< LOD	0.021	0.011	0.006	0.023
418	< LOD	12.71	79.94	5.38	0.71	< LOD	0.10	< LOD	< LOD	0.080	< LOD	< LOD	< LOD	0.001	0.004	0.017	0.018	0.034	0.154
419	7.77	13.12	61.46	2.97	2.74	0.08	5.39	0.51	0.055	0.021	0.029	0.006	0.002	0.010	< LOD	0.021	0.014	0.009	0.073
419.9	1.86	15.34	65.59	1.99	3.21	0.05	4.43	0.44	0.063	0.026	0.034	< LOD	< LOD	0.009	0.002	0.016	0.025	0.009	0.074
420.9	< LOD	16.58	76.98	1.09	2.89	< LOD	0.10	< LOD	0.001	0.002	0.004	0.020	< LOD	< LOD					
422.1	4.69	13.65	52.80	2.50	1.37	1.09	8.89	0.42	0.029	0.109	0.046	0.007	0.005	0.014	0.002	0.018	0.011	0.006	0.022
422.9	< LOD	15.94	58.24	0.35	3.16	< LOD	0.17	< LOD	0.001	0.002	0.001	0.030	< LOD	< LOD					
423.5	1.50	8.55	80.27	3.61	0.48	< LOD	0.10	< LOD	0.002	0.010	0.011	< LOD	0.067						
424.5	3.23	15.54	54.61	2.31	2.55	0.04	3.17	0.44	< LOD	< LOD	0.024	< LOD	< LOD	0.008	0.002	0.017	0.022	0.018	0.024
425.2	4.32	15.42	57.80	2.00	4.32	0.05	3.21	0.40	0.056	0.109	0.017	< LOD	0.003	0.009	< LOD	0.021	0.031	0.011	0.165
426.4	4.38	13.31	39.86	0.72	6.60	0.15	7.19	0.52	0.121	0.743	0.068	0.018	0.072	0.011	< LOD	0.004	0.021	0.007	< LOD
427.4	3.50	19.75	57.73	2.43	5.09	0.04	4.37	0.57	0.097	< LOD	0.023	< LOD	< LOD	0.006	0.002	0.025	0.031	0.010	0.083
428.35	1.62	9.48	57.28	0.26	4.52	0.06	1.72	0.32	0.058	1.919	0.013	< LOD	0.006	0.003	< LOD	< LOD	0.012	0.006	< LOD
429.1	1.97	2.58	82.90	0.20	1.00	0.05	2.21	0.01	0.022	1.857	< LOD	< LOD	0.028	0.006	< LOD	< LOD	0.000	< LOD	< LOD
430.1	3.49	14.21	53.86	6.31	1.57	0.02	3.69	0.40	0.024	1.119	0.016	0.002	< LOD	0.005	0.003	0.029	0.022	0.013	0.127
431.1	4.08	15.38	55.80	2.90	3.50	0.02	3.77	0.47	0.041	1.059	0.029	0.003	0.002	0.006	< LOD	0.017	0.027	0.010	0.064
432	3.22	13.30	63.28	2.20	2.44	0.01	2.81	0.45	0.038	0.793	0.020	< LOD	0.001	0.005	< LOD	0.010	0.024	0.012	0.056
433	2.74	12.31	53.76	2.18	3.39	0.04	4.55	0.45	< LOD	3.324	0.028	< LOD	< LOD	0.008	0.002	0.017	0.027	0.012	0.066
434	5.49	15.03	39.33	4.49	2.28	0.75	8.98	0.85	< LOD	2.116	0.043	0.006	0.008	0.018	0.002	0.038	0.015	0.014	0.055
434.85	< LOD	16.62	60.03	9.14	0.35	0.01	0.73	0.02	< LOD	0.002	0.008	0.032	0.033	< LOD	0.202				

Süg. (m)	MgO	Al ₂ O ₃	SiO ₂	K ₂ O	Ca	Mn	Fe	Ti	P	S	Cr	Ni	Cu	Zn	Pb	Rb	Sr	Zr	Ba	
435.85	2.50	9.89	74.19	1.44	1.27	0.48	4.96	0.27	< LOD	0.550	< LOD	0.005	0.006	0.006	0.002	0.009	0.011	0.003	< LOD	
436.6	2.65	12.68	59.01	0.67	2.48	0.93	6.32	0.33	0.032	0.769	< LOD	0.005	< LOD	0.007	< LOD	0.005	0.014	0.010	0.031	
437.45	3.12	6.30	68.63	0.16	2.44	2.61	8.44	0.12	0.052	1.593	< LOD	0.003	0.031	0.008	< LOD	0.002	0.001	0.005	< LOD	
438.15	1.94	6.69	78.70	0.71	0.85	0.80	5.50	0.13	0.036	1.293	< LOD	< LOD	0.019	0.007	< LOD	0.005	0.002	0.003	0.019	
439.15	3.15	16.89	69.98	1.72	2.64	0.04	2.20	0.22	< LOD	< LOD	< LOD	< LOD	0.001	0.004	0.002	0.011	0.022	0.004	0.018	
440.4	2.16	14.23	65.76	7.78	0.50	0.03	2.24	0.24	< LOD	0.083	< LOD	< LOD	< LOD	0.009	0.004	0.026	0.023	0.016	0.149	
441.4	< LOD	18.27	62.88	10.68	0.34	< LOD	0.11	< LOD	0.008	0.033	0.034	< LOD	0.230							
442.4	1.78	16.92	61.28	9.39	0.48	0.01	1.27	0.09	< LOD	< LOD	< LOD	< LOD	0.002	0.002	0.006	0.030	0.032	< LOD	0.187	
443.3	< LOD	18.79	65.80	11.28	0.38	< LOD	0.14	< LOD	0.001	0.007	0.032	0.031	< LOD	0.205						
444.3	2.03	1.63	79.76	0.13	1.07	0.48	13.26	0.03	< LOD	< LOD	< LOD	< LOD	0.003	0.002	0.002	0.001	< LOD	< LOD		
445.3	4.45	2.35	59.45	0.08	3.16	1.22	21.46	0.08	0.032	< LOD	< LOD	0.006	< LOD	0.006	0.007	0.002	0.003	< LOD	< LOD	
446.2	3.94	1.49	49.60	0.19	1.81	1.34	16.84	0.05	0.033	0.051	< LOD	0.005	< LOD	0.003	0.004	0.004	0.004	< LOD	0.066	
447.1	2.81	4.10	57.13	< LOD	3.07	3.45	16.85	0.08	0.054	0.035	< LOD	0.006	< LOD	0.014	0.004	0.001	0.001	0.001	< LOD	
448.1	3.20	10.71	27.76	0.02	2.41	8.54	22.93	0.15	< LOD	0.200	0.020	0.019	0.009	0.034	0.005	< LOD	< LOD	< LOD	< LOD	
449.1	3.23	2.83	59.01	0.04	2.73	3.07	16.04	0.02	0.046	< LOD	< LOD	0.005	< LOD	0.007	0.004	< LOD	0.002	< LOD	< LOD	
450	< LOD	13.67	52.03	8.49	0.50	0.01	0.39	< LOD	0.218	0.111	< LOD	< LOD	0.002	< LOD	0.008	0.031	0.032	< LOD	0.205	
451	2.98	2.01	48.19	0.02	3.04	1.97	13.59	0.03	< LOD	0.193	< LOD	0.003	< LOD	0.005	< LOD	< LOD	0.003	< LOD	< LOD	
451.9	2.61	1.13	59.90	0.04	2.62	1.43	15.30	0.03	0.028	0.196	< LOD	0.005	0.008	0.011	< LOD	0.001	0.004	< LOD	< LOD	
452.85	2.80	2.14	49.20	0.02	4.23	1.82	21.93	0.04	< LOD	1.156	< LOD	0.007	0.006	0.004	0.007	0.001	0.008	< LOD	< LOD	
453.85	2.92	17.35	56.73	9.74	0.43	0.08	2.34	0.24	0.060	< LOD	0.007	0.008	0.040	0.033	< LOD	0.199				
454.8	4.71	3.21	59.67	0.08	5.75	2.73	11.10	0.03	0.032	< LOD	0.006	< LOD	< LOD	0.028						
455.5	3.61	1.88	50.06	0.04	3.90	6.20	18.80	0.04	< LOD	0.060	< LOD	0.011	0.003	0.006	0.005	< LOD	0.004	< LOD	0.071	
456.3	3.46	0.81	64.37	0.06	2.10	1.59	21.77	0.07	< LOD	< LOD	< LOD	0.007	0.003	0.005	0.006	0.002	0.003	< LOD	< LOD	
457.35	1.76	20.62	63.67	1.19	3.22	0.07	1.99	0.06	< LOD	0.004	0.002	0.008	0.039	< LOD	0.016					
458.1	1.73	20.55	63.34	8.58	0.54	0.02	0.58	< LOD	0.006	0.031	0.044	< LOD	0.188							
459.2	< LOD	14.53	52.27	9.37	0.47	0.09	1.24	0.02	< LOD	0.246	< LOD	< LOD	< LOD	< LOD	0.002	0.006	0.029	0.034	< LOD	0.199
460.35	1.67	1.70	64.32	0.16	0.83	0.34	15.02	0.03	< LOD	0.008	0.002	0.001	0.001	< LOD	< LOD					
461.1	2.01	3.65	78.65	0.76	0.35	0.46	11.90	0.10	0.024	1.143	< LOD	< LOD	0.018	0.009	0.002	0.005	0.001	< LOD	< LOD	
461.9	3.99	6.81	47.13	0.03	3.11	4.61	21.07	0.05	0.031	0.136	< LOD	0.012	0.014	0.044	0.006	0.001	0.001	< LOD	< LOD	
462.95	2.14	15.86	59.55	6.92	1.14	0.06	3.19	0.26	< LOD	0.001	0.006	0.004	0.022	0.023	0.046	0.124				
463.85	< LOD	16.77	71.33	5.85	0.61	< LOD	0.18	< LOD	0.004	0.026	0.033	0.062	0.139							
464.65	4.32	19.12	50.20	2.76	1.77	0.07	2.26	0.23	< LOD	0.005	0.002	0.019	0.063	< LOD	0.040					

Süg. (m)	MgO	Al ₂ O ₃	SiO ₂	K ₂ O	Ca	Mn	Fe	Ti	P	S	Cr	Ni	Cu	Zn	Pb	Rb	Sr	Zr	Ba
465.65	< LOD	11.43	70.22	7.14	0.35	< LOD	0.08	< LOD	0.002	0.001	0.006	0.020	0.020	< LOD	0.132				
466.65	1.47	5.06	89.70	2.35	0.26	< LOD	0.11	< LOD	0.001	0.001	0.002	0.008	0.007	0.002	0.054				
467.85	4.08	6.08	58.00	0.37	2.61	2.18	12.41	0.18	0.034	< LOD	0.018	0.005	< LOD	0.012	0.002	0.002	0.001	0.002	< LOD
468.85	2.98	3.04	49.61	0.12	2.51	1.30	12.43	0.09	0.042	< LOD	< LOD	< LOD	< LOD	0.009	< LOD	0.002	0.001	0.001	< LOD
469.85	4.49	4.17	55.87	0.44	2.48	0.55	19.18	0.16	0.059	< LOD	< LOD	< LOD	0.002	0.026	0.004	0.001	0.002	0.001	< LOD
470.4	2.96	4.34	64.61	0.03	2.68	2.44	14.25	0.10	0.045	< LOD	< LOD	0.004	< LOD	0.011	< LOD	< LOD	0.001	0.001	< LOD
471	2.10	17.29	59.66	10.34	0.39	0.04	1.47	0.13	< LOD	0.055	< LOD	< LOD	< LOD	0.004	0.008	0.038	0.034	< LOD	0.207
472	3.41	10.25	15.82	2.78	0.48	0.97	38.04	1.00	0.098	< LOD	0.037	0.024	< LOD	0.110	0.026	0.030	0.002	< LOD	< LOD
473	2.18	5.29	64.94	0.21	1.49	1.05	13.41	0.16	0.042	< LOD	< LOD	0.004	< LOD	0.005	0.002	0.002	0.006	0.002	< LOD
474.05	2.72	1.61	48.94	0.29	0.61	0.70	17.95	0.11	< LOD	0.027	< LOD	< LOD	0.002	0.006	0.004	0.002	0.001	< LOD	< LOD
475	3.47	4.90	52.43	1.80	2.50	0.49	15.91	0.13	0.034	0.032	< LOD	< LOD	0.003	0.006	0.005	0.014	0.014	0.002	0.084
476	1.60	4.39	71.28	0.40	1.56	0.27	13.96	0.06	0.026	0.143	< LOD	< LOD	0.003	0.011	0.002	0.002	0.004	< LOD	< LOD
476.85	2.98	8.15	57.61	0.22	2.15	0.83	18.30	0.15	0.046	< LOD	0.014	0.004	< LOD	0.009	0.005	0.002	0.003	< LOD	< LOD
477.85	3.70	9.71	63.91	0.19	3.25	0.79	16.80	0.10	0.047	< LOD	< LOD	< LOD	< LOD	0.007	0.004	0.001	0.005	< LOD	< LOD
478.85	4.15	4.76	52.88	0.06	5.67	3.08	11.15	0.05	0.359	1.534	< LOD	0.005	0.009	0.009	< LOD	< LOD	0.001	0.001	< LOD
479.75	3.68	5.79	57.16	2.71	3.64	1.38	17.20	0.10	0.049	0.040	< LOD	< LOD	< LOD	0.010	0.015	0.020	0.018	< LOD	0.060
480.75	2.74	2.74	75.28	1.69	0.97	0.71	6.53	0.05	< LOD	0.262	< LOD	< LOD	0.002	0.005	0.001	0.005	0.003	< LOD	0.025
481.75	2.26	9.14	51.06	5.79	2.79	1.82	13.85	0.08	0.028	1.361	0.015	0.002	0.003	0.009	0.022	0.022	0.018	< LOD	0.076
482.7	2.45	3.21	43.25	1.65	2.96	1.88	18.89	0.08	0.037	0.501	< LOD	0.006	0.004	0.012	0.023	0.009	0.008	< LOD	0.065
483.7	2.38	4.67	47.13	2.81	3.84	2.17	14.51	0.06	0.038	1.108	< LOD	0.004	0.007	0.008	0.019	0.016	0.017	0.001	0.116
484.7	2.88	4.44	54.60	2.73	3.36	2.17	15.24	0.07	0.024	< LOD	< LOD	0.005	< LOD	0.008	0.023	0.014	0.016	< LOD	0.116
485.7	2.91	4.41	33.45	3.22	2.54	1.65	12.23	0.04	0.026	< LOD	< LOD	0.004	< LOD	0.004	0.021	0.024	0.019	0.002	0.097
486.2	3.21	3.53	54.10	2.16	2.97	1.21	11.95	0.06	0.050	< LOD	< LOD	< LOD	< LOD	0.006	0.004	0.010	0.015	< LOD	0.099
487.3	3.31	2.44	40.77	0.04	5.11	9.14	14.64	0.05	0.032	0.046	< LOD	0.009	0.003	0.030	< LOD	< LOD	0.002	< LOD	< LOD
488.25	3.50	2.08	47.10	0.22	4.03	2.52	22.84	0.06	0.044	1.096	< LOD	0.012	0.039	0.007	0.009	0.002	0.004	< LOD	0.027
489.25	2.94	2.26	48.11	0.15	2.90	1.60	23.62	0.05	0.032	0.279	< LOD	0.010	0.009	0.017	0.008	0.002	0.001	< LOD	< LOD
490.25	5.19	3.31	52.72	0.06	6.09	3.34	17.57	0.04	0.035	0.403	< LOD	0.004	0.010	0.010	0.003	< LOD	0.002	< LOD	< LOD
491.05	4.24	1.44	54.25	0.17	2.97	0.93	20.59	0.14	< LOD	< LOD	< LOD	0.004	0.004	0.023	0.005	0.003	< LOD	< LOD	
492	2.25	< LOD	79.31	0.12	1.13	0.39	7.48	< LOD	< LOD	0.057	< LOD	< LOD	0.003	0.005	< LOD	0.001	0.002	< LOD	0.023
492.95	4.76	2.42	60.02	1.71	3.33	1.02	9.69	0.03	< LOD	1.256	< LOD	< LOD	0.010	0.008	0.002	0.019	0.009	< LOD	0.152
493.95	2.85	1.35	62.02	0.05	5.36	2.72	13.17	0.01	< LOD	1.072	< LOD	0.003	0.006	0.008	0.002	< LOD	0.004	< LOD	< LOD
494.85	2.80	1.36	39.56	0.05	5.01	1.99	27.91	0.12	0.045	0.453	< LOD	0.014	0.016	0.027	0.009	0.003	0.005	< LOD	< LOD

Süg. (m)	MgO	Al2O3	SiO2	K2O	Ca	Mn	Fe	Ti	P	S	Cr	Ni	Cu	Zn	Pb	Rb	Sr	Zr	Ba	
495.75	2.23	1.15	36.91	0.04	5.47	2.24	14.60	0.04	< LOD	0.709	< LOD	0.010	0.054	0.022	< LOD	< LOD	0.005	< LOD	< LOD	
496.75	2.62	0.40	17.27	< LOD	3.91	2.65	30.70	0.09	< LOD	0.290	< LOD	0.019	0.023	0.023	0.011	0.003	0.004	< LOD	< LOD	
497.8	2.62	0.44	61.27	0.03	3.94	2.02	15.57	0.06	0.054	1.337	< LOD	0.004	0.011	0.018	< LOD	0.001	0.003	< LOD	< LOD	
498.8	2.41	1.96	35.50	0.06	2.98	2.94	13.67	0.05	< LOD	0.257	< LOD	0.007	0.008	0.015	< LOD	0.001	0.003	< LOD	0.027	
499.8	3.30	3.15	45.99	0.37	1.85	2.08	17.55	< LOD	< LOD	0.125	< LOD	0.005	0.007	0.016	0.003	0.005	0.011	0.002	0.662	
500.8	1.81	16.14	57.86	10.46	0.33	< LOD	0.22	< LOD	< LOD	0.121	< LOD	< LOD	< LOD	< LOD	0.008	0.034	0.037	< LOD	0.258	
501.8	2.30	2.66	66.58	0.09	1.17	0.59	14.08	0.04	< LOD	0.076	< LOD	< LOD	0.003	0.007	0.002	0.001	0.001	< LOD	< LOD	
502.8	3.82	1.65	47.81	0.09	2.64	0.32	19.14	0.06	0.037	0.437	< LOD	< LOD	0.013	0.019	0.003	0.001	< LOD	< LOD	< LOD	
503.3	3.29	2.22	63.38	0.09	1.51	1.19	17.13	0.05	0.033	< LOD	< LOD	< LOD	0.003	0.011	0.003	0.001	0.001	< LOD	< LOD	
504.3	3.41	8.10	66.66	1.02	2.02	2.30	7.07	0.23	0.049	1.199	< LOD	< LOD	0.022	0.008	< LOD	0.013	0.006	0.005	0.040	
505.3	3.15	4.36	42.69	1.25	0.51	1.62	8.25	0.25	0.060	0.023	0.009	< LOD	0.004	0.012	< LOD	0.016	0.001	0.010	< LOD	
506.3	2.84	13.33	46.51	6.31	0.96	0.05	4.15	0.37	< LOD	0.081	0.011	< LOD	0.002	0.007	0.006	0.033	0.029	0.014	0.159	
507.3	1.42	12.20	55.57	7.88	0.41	0.03	0.57	< LOD	0.001	0.001	0.006	0.029	0.029	< LOD	0.181					
508.3	< LOD	15.06	54.72	8.83	0.27	< LOD	0.49	0.03	< LOD	0.001	0.007	0.034	0.033	0.010	0.227					
509.3	4.42	9.55	49.67	1.66	1.57	3.42	10.80	0.54	0.083	0.986	0.018	0.006	0.021	0.019	< LOD	0.014	0.001	0.012	0.043	
510.3	2.71	5.13	47.01	0.59	1.45	3.01	9.11	0.15	0.084	3.056	0.012	0.005	0.021	0.008	< LOD	0.010	< LOD	0.003	< LOD	
511.3	2.34	11.53	52.39	1.55	3.34	1.80	6.39	0.42	0.068	0.923	< LOD	< LOD	0.020	0.012	< LOD	0.022	0.013	0.012	0.089	
512.3	3.54	7.04	56.27	0.99	1.31	3.15	8.85	0.31	0.089	1.385	0.011	0.004	0.023	0.012	< LOD	0.018	< LOD	0.005	< LOD	
513.3	5.07	13.27	46.03	7.08	0.60	0.07	5.09	0.57	0.026	0.209	0.020	0.003	0.005	0.013	0.004	0.045	0.024	0.018	0.180	
514.3	2.92	10.06	54.42	1.07	3.11	2.44	6.88	0.29	0.049	1.639	< LOD	< LOD	0.021	0.011	< LOD	0.016	0.009	0.007	0.055	
515.3	2.32	14.91	52.24	1.30	4.65	0.49	4.33	0.30	0.034	1.428	< LOD	< LOD	0.012	0.009	< LOD	0.019	0.043	0.020	0.071	
516.3	< LOD	2.20	25.00	0.20	1.68	2.41	8.10	0.10	< LOD	4.123	< LOD	< LOD	0.025	0.006	< LOD	0.007	0.001	0.005	< LOD	
516.8	2.32	9.52	60.27	1.12	1.67	0.40	4.17	0.17	< LOD	0.498	< LOD	< LOD	0.010	0.005	< LOD	0.009	0.018	0.009	0.021	
517.8	1.66	6.57	74.54	0.49	1.35	0.02	0.39	< LOD	0.020	0.692	< LOD	< LOD	< LOD	0.002	0.001	0.001	0.008	< LOD	< LOD	
518.8	3.10	7.14	30.94	2.68	1.11	0.29	5.26	0.31	< LOD	0.287	0.020	0.004	< LOD	0.011	0.004	0.025	0.026	0.018	0.108	
519.8	1.34	1.76	56.67	1.71	0.50	< LOD	0.07	< LOD	< LOD	1.355	< LOD	< LOD	< LOD	< LOD	0.003	0.010	0.012	< LOD	0.077	
520.8	3.27	4.65	76.98	2.33	0.35	0.03	4.22	0.32	< LOD	0.991	< LOD	< LOD	0.018	0.007	< LOD	0.016	0.003	0.024	< LOD	
521.8	1.82	11.08	55.09	6.48	0.60	0.04	1.93	0.11	< LOD	0.743	< LOD	< LOD	0.003	0.004	0.006	0.028	0.027	0.016	0.173	
522.8	4.30	12.19	49.02	3.75	1.22	0.09	4.96	0.55	< LOD	0.069	0.014	0.003	0.004	0.011	0.002	0.030	0.018	0.039	0.095	
523.8	3.54	6.21	62.34	2.44	0.66	0.04	2.34	0.26	< LOD	< LOD	0.009	< LOD	< LOD	0.006	0.001	0.015	0.008	< LOD	0.039	
524.3	2.33	10.30	66.46	3.41	1.03	0.23	2.29	0.10	< LOD	0.025	< LOD	< LOD	0.001	0.004	0.003	0.016	0.016	0.021	0.131	
525.3	2.75	2.96	30.81	0.41	1.27	1.69	6.21	0.14	0.029	0.716	0.008	0.003	0.012	0.008	< LOD	0.012	0.001	0.004	0.043	

Süg. (m)	MgO	Al2O3	SiO2	K2O	Ca	Mn	Fe	Ti	P	S	Cr	Ni	Cu	Zn	Pb	Rb	Sr	Zr	Ba
526.3	2.64	12.60	35.27	0.67	2.18	1.16	6.75	0.07	< LOD	0.282	< LOD	0.005	0.004	0.003	0.002	0.005	0.025	0.016	< LOD
527.3	3.13	7.46	43.39	1.69	1.21	0.71	5.46	0.32	0.032	0.295	0.009	0.005	0.004	0.012	< LOD	0.018	0.010	0.009	0.022
528	< LOD	10.96	63.80	0.53	2.19	< LOD	0.13	< LOD	0.001	0.002	0.021	< LOD	< LOD						
529	1.75	12.87	70.29	0.72	2.45	0.20	1.50	0.05	< LOD	0.033	< LOD	< LOD	0.003	0.002	0.002	0.004	0.021	0.004	0.034
530	1.56	12.49	60.70	2.45	2.10	0.23	2.46	0.22	0.035	0.471	< LOD	< LOD	< LOD	0.004	0.003	0.009	0.028	0.003	0.087
531	1.79	16.72	59.92	1.81	2.87	0.19	2.79	0.35	0.071	< LOD	< LOD	< LOD	< LOD	0.004	0.002	0.011	0.028	0.024	0.041
532	2.40	14.24	69.30	1.19	2.39	0.52	3.69	0.17	0.050	0.113	0.013	0.003	0.010	0.006	< LOD	0.009	0.017	0.002	< LOD
533	4.22	12.16	35.74	2.19	1.57	1.07	7.64	0.42	0.032	0.136	0.017	0.007	0.006	0.010	< LOD	0.019	0.015	0.013	0.025
533.8	2.00	13.63	55.92	2.96	2.02	0.13	2.43	0.25	0.087	0.087	< LOD	< LOD	0.003	0.004	0.003	0.016	0.028	0.010	0.088
534.6	2.08	7.02	43.31	1.59	1.18	0.21	3.38	0.24	0.027	0.018	< LOD	< LOD	0.003	0.007	0.002	0.016	0.018	0.009	0.054
535.6	2.90	11.39	46.01	0.77	1.90	0.26	2.30	0.08	0.020	< LOD	< LOD	< LOD	0.004	0.004	< LOD	0.007	0.022	0.011	< LOD
536.6	3.75	15.65	38.27	2.96	2.26	0.05	4.27	0.51	< LOD	< LOD	0.020	< LOD	< LOD	0.012	0.003	0.028	0.027	0.021	0.059
537.6	2.10	5.16	28.27	2.02	0.84	0.03	2.88	0.12	< LOD	0.006	0.005	0.026	0.031	0.013	0.157				
538.6	5.58	18.15	42.01	4.74	1.91	0.11	7.40	0.90	< LOD	0.205	0.029	0.006	0.004	0.021	0.003	0.045	0.017	0.033	0.072
539.6	< LOD	6.90	71.85	0.24	1.52	0.16	0.84	< LOD	< LOD	0.205	< LOD	< LOD	0.002	0.001	0.002	0.001	0.016	0.004	< LOD
540.6	1.49	9.03	60.04	0.57	2.15	0.06	0.75	0.04	< LOD	0.369	< LOD	< LOD	< LOD	0.002	0.001	0.003	0.019	0.009	< LOD
541.6	2.06	18.17	52.34	2.59	2.77	0.54	5.13	0.36	0.065	< LOD	0.019	< LOD	< LOD	0.006	0.004	0.015	0.035	0.012	0.132
542.2	2.76	11.48	72.99	1.00	2.11	0.11	1.64	0.12	< LOD	0.053	< LOD	< LOD	0.002	0.005	0.002	0.005	0.020	0.005	0.015
543	2.47	7.79	33.98	1.10	2.35	0.11	3.82	0.23	< LOD	< LOD	0.009	0.003	< LOD	0.010	< LOD	0.014	0.022	0.009	0.058
544.2	5.23	17.04	52.54	2.99	3.43	0.31	7.07	0.66	0.085	< LOD	0.022	0.007	< LOD	0.016	< LOD	0.016	0.031	0.010	0.055
545.2	< LOD	15.35	64.76	1.77	2.85	0.03	1.97	0.25	0.027	0.221	0.008	< LOD	< LOD	0.005	0.002	0.010	0.023	0.010	< LOD
546	< LOD	12.19	70.38	0.68	2.37	0.02	0.99	0.08	0.021	< LOD	0.002	0.003	0.003	0.022	< LOD				
547	2.25	7.18	31.63	1.02	1.48	0.54	3.97	0.25	0.039	0.016	0.009	< LOD	0.002	0.006	< LOD	0.011	0.019	0.012	0.040
548	1.47	16.20	43.52	0.73	3.70	0.02	0.78	< LOD	0.502	< LOD	0.001	0.003	0.004	0.045	< LOD				
548.6	3.55	7.00	55.43	0.80	1.71	2.02	7.48	0.18	0.038	2.478	< LOD	< LOD	0.007	0.006	< LOD	0.015	0.001	0.006	0.035
549.6	2.45	10.59	69.82	0.20	1.78	2.16	6.15	< LOD	0.103	0.459	0.015	< LOD	0.004	0.003	< LOD	0.001	0.010	0.008	< LOD
550.6	3.59	8.99	21.89	0.12	1.07	4.14	12.69	< LOD	0.092	< LOD	0.017	0.015	0.008	0.007	< LOD	0.001	0.001	< LOD	< LOD
551.6	2.73	7.44	59.01	1.06	1.09	2.37	9.31	0.28	0.043	1.263	< LOD	0.004	0.010	0.011	< LOD	0.009	0.002	0.006	< LOD
552.6	< LOD	13.18	68.18	6.75	0.42	0.37	1.37	< LOD	< LOD	0.060	< LOD	< LOD	0.003	0.002	0.007	0.021	0.021	< LOD	0.150
553.6	4.49	3.43	47.83	0.50	2.41	2.31	18.76	0.14	0.025	0.355	< LOD	0.007	0.007	0.055	0.005	0.008	0.002	0.002	0.053
554.6	2.46	3.80	33.89	0.03	7.09	3.57	19.46	0.15	< LOD	1.700	< LOD	0.006	0.054	0.041	0.003	< LOD	0.007	0.004	< LOD
555.2	2.57	1.55	56.22	0.03	2.51	1.24	19.37	0.03	< LOD	0.100	< LOD	0.003	< LOD	0.029	0.003	0.001	0.001	< LOD	< LOD

Süg. (m)	MgO	Al ₂ O ₃	SiO ₂	K ₂ O	Ca	Mn	Fe	Ti	P	S	Cr	Ni	Cu	Zn	Pb	Rb	Sr	Zr	Ba
556.2	3.52	1.76	60.16	0.22	1.46	0.43	13.62	0.02	< LOD	0.560	< LOD	< LOD	0.023	0.008	0.003	0.001	0.003	0.001	< LOD
557.2	4.48	1.62	49.41	0.03	1.88	1.15	19.23	0.04	< LOD	0.047	< LOD	0.006	0.003	0.007	0.003	0.001	0.001	< LOD	< LOD
558	2.77	1.83	53.86	0.02	2.83	0.81	15.05	0.04	0.030	0.056	< LOD	< LOD	0.003	0.005	0.003	0.001	0.002	< LOD	< LOD
559	< LOD	1.92	45.17	0.06	0.17	0.37	32.33	0.11	< LOD	0.228	< LOD	0.014	0.032	0.042	0.016	0.005	0.001	0.002	< LOD
560	3.27	2.25	51.07	0.06	3.03	0.95	30.87	0.04	0.030	0.778	< LOD	0.011	0.024	0.011	0.013	0.004	0.003	< LOD	< LOD
561	2.31	1.75	64.29	0.27	1.30	0.44	16.18	0.04	< LOD	0.270	< LOD	< LOD	0.005	0.008	0.004	0.001	0.003	< LOD	< LOD
562	< LOD	1.03	72.82	0.08	0.18	0.37	13.89	0.05	< LOD	5.574	< LOD	< LOD	0.034	0.002	0.003	0.001	0.001	< LOD	< LOD
563	3.12	3.11	66.95	0.58	1.63	2.37	11.36	0.05	< LOD	2.534	< LOD	< LOD	0.008	0.006	0.002	0.007	0.005	< LOD	0.196
564	3.23	0.79	64.97	0.07	1.87	1.09	12.25	0.05	0.025	0.212	< LOD	0.003	0.003	0.012	< LOD	0.001	0.001	< LOD	< LOD
564.8	4.60	3.88	43.59	< LOD	8.23	7.12	10.69	0.02	0.037	0.289	< LOD	0.003	0.006	0.017	< LOD	< LOD	0.006	< LOD	< LOD
565.8	2.30	0.89	44.23	< LOD	4.54	3.63	13.75	0.03	0.030	0.323	< LOD	0.005	0.008	0.014	< LOD	< LOD	0.002	< LOD	< LOD
566.8	2.78	< LOD	68.91	< LOD	3.45	1.84	16.06	0.03	0.032	0.030	< LOD	< LOD	< LOD	0.009	0.003	< LOD	0.001	< LOD	< LOD
567.8	2.65	< LOD	14.56	< LOD	3.60	2.41	24.67	0.04	< LOD	0.419	< LOD	0.016	0.016	0.029	0.009	0.002	0.005	< LOD	< LOD
568.8	2.49	1.17	64.25	0.10	1.69	1.26	17.21	0.03	< LOD	0.045	< LOD	< LOD	< LOD	0.010	< LOD	0.001	0.001	< LOD	0.030
569.8	1.95	2.06	78.23	0.20	0.59	1.20	8.67	0.06	< LOD	0.070	< LOD	< LOD	< LOD	0.011	< LOD	0.001	0.006	0.002	0.041
570.3	1.99	1.09	57.25	< LOD	3.00	2.35	15.65	0.05	0.043	0.139	0.014	0.003	0.004	0.014	< LOD	< LOD	0.004	< LOD	< LOD
571.3	2.21	5.63	38.34	0.29	1.26	0.15	10.76	0.20	0.053	0.118	< LOD	< LOD	< LOD	0.025	0.003	0.004	0.020	< LOD	0.040
572.3	< LOD	10.34	43.49	5.36	8.14	0.22	3.59	0.37	5.331	0.033	< LOD	< LOD	< LOD	0.006	0.006	0.029	0.022	< LOD	0.142
573.3	3.67	1.27	64.15	0.04	3.24	0.98	19.24	0.04	0.047	0.280	< LOD	< LOD	0.012	0.016	0.004	0.001	0.001	< LOD	< LOD
574.3	2.12	8.72	56.17	1.13	2.05	2.82	9.37	0.24	0.037	2.164	< LOD	0.004	0.006	0.009	< LOD	0.013	0.002	0.008	0.054
575.3	3.11	14.67	62.53	2.61	2.16	0.13	4.33	0.40	< LOD	0.064	0.024	0.003	< LOD	0.008	0.002	0.021	0.018	0.012	0.034
576.3	2.80	10.27	36.20	2.23	1.78	0.19	6.04	0.40	0.057	0.101	0.037	0.009	0.004	0.012	0.002	0.029	0.021	0.015	0.032
577.3	2.82	5.92	79.51	2.22	0.61	1.18	3.05	0.07	< LOD	0.301	< LOD	< LOD	0.005	0.004	0.002	0.012	0.006	< LOD	0.094
578.3	< LOD	12.52	48.60	5.32	0.93	1.77	6.99	0.02	< LOD	0.171	0.012	< LOD	0.005	0.003	0.008	0.024	0.033	< LOD	0.231
578.8	2.25	8.98	52.93	4.44	1.10	1.01	3.06	< LOD	0.286	0.114	0.009	< LOD	0.004	< LOD	0.008	0.022	0.023	< LOD	0.251
579.5	4.35	1.83	55.62	0.14	0.28	0.96	25.84	0.29	0.061	0.409	< LOD	0.005	0.030	0.050	0.009	0.002	< LOD	< LOD	< LOD
580.5	< LOD	4.72	49.72	0.13	3.56	2.62	23.02	0.19	1.894	0.252	< LOD	0.005	0.020	0.021	0.005	0.002	0.003	< LOD	< LOD
581.5	2.03	1.86	51.41	0.08	0.11	0.49	27.48	0.52	< LOD	0.062	< LOD	0.005	< LOD	0.033	0.008	0.003	< LOD	< LOD	< LOD
582.5	2.25	2.94	69.26	0.15	1.93	0.37	19.29	0.04	< LOD	0.158	< LOD	< LOD	0.005	0.024	0.004	0.001	0.002	< LOD	< LOD
583.5	1.53	10.81	68.19	6.93	0.29	0.14	0.35	0.04	< LOD	0.070	< LOD	< LOD	< LOD	0.001	0.007	0.022	0.024	< LOD	0.172
584.5	3.08	2.00	57.52	0.14	1.81	0.45	22.54	0.04	< LOD	0.199	< LOD	< LOD	0.004	0.025	0.005	0.002	0.001	< LOD	0.029
585.5	3.09	2.63	67.46	0.13	2.09	1.36	16.06	0.04	0.041	0.091	< LOD	< LOD	0.030	0.017	0.002	0.001	0.001	< LOD	< LOD

Süg. (m)	MgO	Al ₂ O ₃	SiO ₂	K ₂ O	Ca	Mn	Fe	Ti	P	S	Cr	Ni	Cu	Zn	Pb	Rb	Sr	Zr	Ba
586.5	1.62	0.88	37.72	0.09	1.37	0.97	15.89	< LOD	< LOD	0.065	< LOD	0.010	< LOD	0.019	0.003	0.002	0.003	< LOD	0.037
587.2	2.90	2.73	36.94	1.16	0.82	0.67	25.37	0.02	< LOD	1.086	< LOD	0.005	0.020	0.045	0.012	0.011	0.025	0.004	0.333
588	< LOD	6.82	48.14	3.94	0.35	0.90	13.86	< LOD	< LOD	2.690	< LOD	< LOD	0.012	0.004	0.008	0.024	0.050	< LOD	0.800
589	4.15	2.88	45.16	0.64	4.32	2.14	20.89	0.06	0.036	3.753	< LOD	< LOD	0.032	0.022	0.005	0.005	0.012	0.002	0.289
590	2.30	1.48	62.10	< LOD	1.43	1.93	17.32	0.03	< LOD	0.307	< LOD	0.005	0.002	0.014	0.003	0.001	0.001	< LOD	< LOD
591	4.06	3.96	55.11	1.44	2.10	1.24	17.44	0.05	< LOD	0.079	< LOD	0.003	< LOD	0.017	0.006	0.005	0.021	< LOD	0.169
592	2.93	0.85	42.95	< LOD	4.42	2.46	17.29	0.04	0.033	0.700	< LOD	0.006	0.004	0.021	< LOD	< LOD	0.008	< LOD	< LOD
593	2.48	0.49	39.36	< LOD	2.46	2.31	22.39	0.04	< LOD	0.276	0.015	0.011	0.011	0.006	0.007	0.002	0.001	< LOD	< LOD
594	3.55	1.56	33.96	0.81	3.09	1.50	17.60	< LOD	< LOD	0.027	< LOD	0.005	< LOD	0.006	0.006	0.005	0.010	< LOD	0.104
594.6	4.18	2.28	34.13	0.75	5.24	1.70	24.43	0.01	0.033	0.034	< LOD	0.009	< LOD	0.023	0.008	0.005	0.008	< LOD	0.096
595.6	2.64	1.75	49.62	0.53	3.15	1.52	18.88	< LOD	0.081	6.020	< LOD	< LOD	0.073	0.012	0.005	0.003	0.006	< LOD	0.056
596.6	2.82	0.60	53.36	0.12	3.02	1.86	15.21	0.01	0.138	2.405	< LOD	0.004	0.033	0.010	0.003	0.002	0.006	< LOD	0.032
597.4	2.92	0.94	57.69	0.35	2.13	1.53	17.33	0.02	< LOD	0.187	< LOD	0.003	0.003	0.019	0.003	0.004	0.002	< LOD	0.042
598.4	3.25	1.89	56.05	0.98	4.64	1.95	10.17	0.01	0.042	2.002	< LOD	< LOD	0.026	0.012	< LOD	0.004	0.005	< LOD	0.031
599.4	1.98	1.19	61.08	0.57	2.73	0.92	14.08	0.02	< LOD	1.055	< LOD	< LOD	< LOD	0.015	0.003	0.004	0.005	< LOD	< LOD
600.4	2.55	0.78	62.97	0.28	1.95	0.59	11.46	0.02	0.055	< LOD	< LOD	< LOD	< LOD	0.012	< LOD	0.001	0.002	< LOD	0.025
601.4	2.91	11.11	57.15	8.01	0.31	0.22	2.13	0.04	< LOD	0.149	< LOD	< LOD	< LOD	0.011	0.010	0.031	0.017	0.016	0.245
602.4	2.04	1.00	40.71	0.10	4.72	1.41	14.84	0.02	< LOD	4.509	< LOD	< LOD	0.003	0.018	0.002	0.001	0.003	< LOD	< LOD
603.3	2.78	0.86	47.86	0.13	2.55	1.42	18.88	0.03	< LOD	< LOD	0.012	0.007	< LOD	0.019	0.004	0.001	0.004	< LOD	< LOD
604.3	2.28	0.85	41.01	0.27	2.02	1.22	17.53	< LOD	< LOD	< LOD	< LOD	0.004	0.003	0.037	0.004	0.002	0.006	< LOD	0.073
605	2.33	< LOD	43.29	0.01	1.36	1.18	16.43	< LOD	< LOD	0.060	< LOD	0.005	0.008	0.012	0.004	< LOD	0.001	< LOD	< LOD
606	2.12	9.19	35.38	5.99	1.06	0.99	18.70	0.12	< LOD	0.174	< LOD	0.005	0.028	0.030	0.029	0.030	0.048	< LOD	0.293
607	2.97	< LOD	67.72	0.04	1.89	0.81	9.75	< LOD	< LOD	0.460	< LOD	< LOD	0.005	0.008	0.005	< LOD	0.002	< LOD	< LOD
608	3.32	< LOD	38.97	0.02	2.15	0.38	14.21	< LOD	< LOD	0.501	< LOD	< LOD	0.005	0.008	0.002	0.001	0.004	< LOD	< LOD
608.5	6.76	3.00	58.11	2.07	1.29	0.47	18.85	0.04	< LOD	0.028	< LOD	< LOD	0.004	0.016	0.004	0.019	0.001	< LOD	0.024
609.5	3.11	0.43	33.53	0.20	2.25	0.63	16.93	< LOD	0.032	< LOD	< LOD	0.005	0.004	0.014	0.004	0.003	0.003	< LOD	0.056
610.5	2.33	< LOD	27.65	0.50	1.04	0.45	10.30	< LOD	< LOD	< LOD	< LOD	0.003	< LOD	0.003	< LOD	0.008	0.003	< LOD	0.081
611.5	3.10	2.79	48.69	1.76	2.48	0.97	19.16	0.04	0.031	0.027	< LOD	< LOD	0.003	0.015	0.007	0.010	0.013	< LOD	0.063
612.5	2.63	3.49	49.55	2.14	3.29	2.37	19.83	0.08	0.030	0.152	< LOD	0.005	0.004	0.013	0.008	0.010	0.013	< LOD	0.073
613.5	< LOD	4.46	48.74	3.01	2.85	1.86	14.67	0.04	< LOD	< LOD	< LOD	0.004	0.002	0.014	0.012	0.015	0.020	0.002	0.153
614.5	1.90	6.15	55.48	4.04	2.82	2.02	12.29	0.07	< LOD	0.012	0.019	0.017	0.019	0.002					
615	2.17	2.71	52.48	1.72	2.45	1.22	10.80	0.03	< LOD	0.030	< LOD	< LOD	< LOD	< LOD	0.010	0.007	0.010	0.011	0.001
																		0.068	

Süg. (m)	MgO	Al ₂ O ₃	SiO ₂	K ₂ O	Ca	Mn	Fe	Ti	P	S	Cr	Ni	Cu	Zn	Pb	Rb	Sr	Zr	Ba
616	3.28	2.74	38.52	1.73	3.08	1.85	15.01	0.06	< LOD	0.127	< LOD	0.005	0.003	0.011	0.020	0.012	0.011	< LOD	0.090
617	4.02	5.62	32.75	2.47	4.37	2.28	29.18	0.11	0.052	0.028	< LOD	0.013	< LOD	0.033	0.014	0.015	0.039	< LOD	0.496
618	1.91	0.43	36.34	0.71	0.18	0.06	6.02	0.05	0.019	0.038	< LOD	< LOD	< LOD	0.014	0.004	0.009	0.004	< LOD	0.037
619	1.57	6.04	43.10	4.25	0.50	0.23	14.72	0.18	0.213	< LOD	< LOD	< LOD	< LOD	0.031	0.016	0.028	0.022	< LOD	0.116
620	8.02	7.24	22.83	4.38	1.52	2.31	16.17	0.81	0.368	4.894	< LOD	0.005	0.011	0.025	0.009	0.053	0.002	< LOD	0.045
621.6	3.40	< LOD	24.06	0.03	1.61	0.39	15.75	0.01	< LOD	0.013	< LOD	0.002	0.007	< LOD	< LOD				
621.6	2.58	< LOD	71.16	0.03	1.83	0.44	11.32	< LOD	< LOD	0.304	< LOD	< LOD	0.006	0.007	0.003	< LOD	0.003	< LOD	< LOD
622.6	2.88	< LOD	66.01	0.05	1.28	0.24	12.88	< LOD	< LOD	0.487	< LOD	< LOD	0.003	0.006	< LOD	0.001	0.002	< LOD	< LOD
623.6	3.29	1.14	44.12	0.17	1.37	0.34	23.57	0.03	< LOD	0.251	< LOD	< LOD	< LOD	0.015	0.003	0.001	0.003	< LOD	< LOD
624.6	1.33	1.78	84.87	0.19	0.45	0.26	11.92	< LOD	< LOD	0.044	< LOD	< LOD	0.003	0.008	< LOD	< LOD	0.001	< LOD	< LOD
625.5	3.38	12.47	42.03	7.19	0.67	0.45	7.08	0.42	0.026	0.140	0.019	0.006	< LOD	0.013	0.009	0.034	0.026	0.011	0.120
626.4	5.41	13.09	39.03	6.87	0.67	0.26	7.68	0.59	< LOD	0.058	0.029	0.004	< LOD	0.017	0.006	0.053	0.018	0.004	0.125
627.1	2.81	2.07	48.79	0.10	4.10	3.43	26.80	0.06	0.043	0.122	< LOD	0.016	0.009	0.014	0.008	0.003	0.003	< LOD	0.029
628.1	< LOD	1.32	15.90	0.10	0.49	1.78	11.59	0.52	< LOD	< LOD	< LOD	< LOD	0.002	0.009	< LOD	0.005	0.002	< LOD	0.113
629.1	4.42	2.53	57.42	0.67	1.78	2.35	19.73	0.05	< LOD	< LOD	< LOD	0.008	< LOD	0.014	0.005	0.010	0.003	< LOD	0.236
630	2.29	< LOD	24.49	0.11	0.70	0.25	21.90	0.07	< LOD	0.526	< LOD	0.006	< LOD	0.011	0.005	0.002	0.002	< LOD	< LOD
631	5.23	1.34	36.37	0.08	3.81	0.74	24.45	0.04	< LOD	0.253	< LOD	0.006	< LOD	0.018	0.007	0.002	0.005	< LOD	< LOD
632	1.80	2.00	58.64	0.12	0.32	0.48	26.45	0.05	< LOD	< LOD	< LOD	0.006	< LOD	0.006	0.007	0.002	0.001	< LOD	0.030
632.8	3.02	2.36	55.24	0.13	2.33	0.71	24.24	0.06	< LOD	0.292	< LOD	0.007	0.008	0.014	0.006	0.002	0.002	< LOD	< LOD
633.8	1.66	0.60	70.59	0.11	0.52	0.16	11.71	0.03	< LOD	0.985	< LOD	< LOD	0.002	0.005	< LOD	0.001	0.003	< LOD	< LOD
634.8	3.93	1.84	39.55	0.03	3.49	1.09	16.42	0.06	0.023	< LOD	< LOD	0.006	< LOD	0.010	0.003	0.001	0.003	< LOD	< LOD
635.8	1.68	17.53	66.75	3.77	1.92	0.06	0.53	< LOD	0.021	< LOD	< LOD	< LOD	< LOD	0.003	0.004	0.015	0.038	< LOD	0.127
636.8	2.26	4.08	38.65	0.70	1.48	0.18	4.29	< LOD	0.005	< LOD	0.008	0.011	0.002	0.123					
367.8	3.50	4.17	59.81	0.46	0.97	1.35	20.69	0.07	0.033	0.086	< LOD	0.007	< LOD	0.017	0.007	0.005	0.005	0.001	0.231
638.4	1.82	3.41	60.33	0.77	1.61	1.07	13.57	0.09	0.034	< LOD	< LOD	< LOD	< LOD	0.006	0.005	0.008	0.009	0.001	0.222
639.4	2.15	2.46	32.53	0.11	1.15	0.35	6.32	0.04	< LOD	< LOD	0.007	< LOD	< LOD	0.005	< LOD	0.001	0.005	< LOD	< LOD
640.4	2.59	5.95	61.60	0.85	1.45	0.60	18.65	0.10	0.024	< LOD	< LOD	0.005	0.003	0.008	0.004	0.007	0.005	< LOD	0.071
641.3	< LOD	6.88	75.84	4.57	0.46	0.03	0.90	< LOD	< LOD	0.041	< LOD	< LOD	0.001	0.002	0.003	0.015	0.015	< LOD	0.111
642.3	4.63	3.28	46.41	0.36	1.18	1.13	23.10	0.12	0.024	< LOD	0.019	0.008	< LOD	0.009	0.005	0.005	0.003	< LOD	< LOD
643.3	2.49	2.46	32.72	0.36	1.12	0.41	12.18	0.10	0.230	< LOD	< LOD	< LOD	< LOD	0.005	< LOD	0.003	0.005	< LOD	< LOD
644.3	6.02	5.50	52.68	0.76	1.60	1.63	19.54	0.12	0.026	0.079	< LOD	0.013	< LOD	0.011	0.005	0.006	0.005	0.001	0.028
645.3	4.64	4.63	45.08	0.56	3.19	0.73	26.15	0.13	0.047	0.581	< LOD	0.009	< LOD	0.015	0.009	0.006	0.004	< LOD	0.047

Süg. (m)	MgO	Al ₂ O ₃	SiO ₂	K ₂ O	Ca	Mn	Fe	Ti	P	S	Cr	Ni	Cu	Zn	Pb	Rb	Sr	Zr	Ba
646.3	2.29	4.58	59.52	0.09	1.39	1.90	14.71	0.11	0.046	0.141	0.012	0.004	< LOD	0.014	< LOD	0.001	0.002	< LOD	< LOD
647.3	5.16	4.93	42.56	1.48	2.60	1.30	23.78	0.17	0.057	0.035	0.017	0.011	< LOD	0.022	0.011	0.011	0.006	< LOD	0.057
648.3	3.40	4.83	59.53	1.83	1.65	0.81	15.75	0.18	0.038	0.153	0.021	< LOD	< LOD	0.015	0.006	0.013	0.005	0.001	0.059
649.2	< LOD	12.30	61.91	8.74	0.28	0.01	0.18	< LOD	0.001	0.022	0.040	0.036	< LOD	0.195					
649.9	4.52	6.25	51.48	3.52	0.45	1.03	14.38	0.09	0.025	< LOD	< LOD	0.004	< LOD	0.008	0.013	0.023	0.027	0.002	0.196
650.9	3.80	4.64	60.17	1.29	1.09	1.87	12.27	0.28	0.037	0.166	0.017	0.008	0.005	0.007	0.004	0.015	0.002	0.002	0.025
652	3.70	4.16	60.33	0.48	2.26	1.83	19.70	0.18	0.042	0.118	0.023	0.008	0.004	0.015	0.005	0.002	0.001	0.002	< LOD
653	4.23	2.46	36.96	0.82	0.73	1.03	23.24	0.12	0.027	0.105	0.014	0.007	< LOD	0.008	0.006	0.008	0.008	< LOD	0.051
653.5	2.25	0.57	50.25	0.08	0.97	0.40	16.24	0.10	0.027	0.181	< LOD	0.011	< LOD	0.005	0.005	0.002	0.001	< LOD	< LOD
654.5	4.54	2.53	48.29	0.53	1.24	1.60	21.70	0.20	0.052	0.092	0.021	0.009	0.008	0.009	0.007	0.004	0.002	0.002	< LOD
655.5	1.98	4.27	56.19	2.77	0.53	1.02	11.19	0.07	0.026	0.354	< LOD	0.004	0.009	0.003	0.004	0.014	0.021	< LOD	0.128
656.5	3.66	6.78	55.82	1.99	2.03	2.24	14.46	0.20	0.035	0.072	0.013	0.006	0.002	0.015	0.003	0.005	0.012	0.002	0.073
657.5	4.42	2.60	51.25	0.08	1.20	2.56	23.88	0.21	0.038	< LOD	< LOD	0.011	< LOD	0.024	0.008	0.002	0.001	0.001	< LOD
658.5	3.77	4.45	53.27	0.42	2.86	2.29	15.49	0.17	0.062	< LOD	0.022	0.006	< LOD	0.006	0.002	0.003	0.005	< LOD	0.055
659.5	2.80	5.04	67.99	1.58	2.20	2.42	15.09	0.10	0.060	0.045	0.018	0.003	< LOD	0.005	0.002	0.006	0.010	0.002	0.083
660.4	3.57	5.38	57.00	0.04	3.88	3.64	17.06	0.11	0.028	0.024	0.012	0.009	0.003	0.009	< LOD	< LOD	0.001	0.002	< LOD
661.4	4.78	4.50	40.89	1.17	3.46	1.71	26.86	0.17	0.043	0.033	< LOD	0.010	< LOD	0.009	0.011	0.012	0.027	0.001	0.207
662.3	2.32	4.27	48.28	1.82	1.77	1.04	15.50	0.14	0.024	< LOD	0.016	0.005	< LOD	0.012	0.003	0.010	0.014	0.001	0.105
663	1.99	2.09	44.15	1.13	1.02	0.41	9.29	0.02	< LOD	0.596	0.011	0.003	0.008	0.002	0.003	0.006	0.007	< LOD	0.045
664	2.34	5.35	47.47	1.32	1.04	1.33	15.27	0.11	0.027	0.815	0.014	0.009	0.023	0.015	0.003	0.008	0.013	0.001	0.138
665	2.59	2.56	36.42	0.03	2.59	2.56	11.53	0.07	0.023	0.022	< LOD	0.008	0.003	0.007	< LOD	0.001	< LOD	0.002	< LOD
666	2.70	5.27	52.29	0.53	3.63	3.15	16.70	0.17	0.062	< LOD	0.023	0.010	0.002	0.013	0.003	0.004	0.008	0.002	0.107
667	2.70	5.48	52.77	0.05	3.50	4.20	15.84	0.17	0.043	< LOD	< LOD	0.006	< LOD	0.006	< LOD	< LOD	0.001	0.001	< LOD
668	4.67	6.76	39.81	1.12	1.68	1.28	17.31	0.13	0.036	< LOD	< LOD	0.004	< LOD	0.009	0.004	0.006	0.022	0.002	0.200
669	1.48	6.83	63.64	0.14	1.74	1.61	14.93	0.11	0.048	< LOD	0.019	0.004	< LOD	0.010	< LOD	< LOD	0.010	0.001	< LOD
670	2.72	6.41	48.66	0.05	3.51	4.24	15.89	0.17	0.045	< LOD	0.015	0.009	< LOD	0.007	0.003	< LOD	0.001	0.003	< LOD
671	2.99	4.95	57.04	0.10	3.87	3.29	13.80	0.18	0.056	< LOD	0.020	0.008	0.003	0.008	0.002	< LOD	0.001	0.002	< LOD
672	2.86	4.71	39.72	0.20	1.92	0.96	7.97	0.05	< LOD	0.005	0.002	0.002	0.026	< LOD					
673	3.31	2.62	58.75	0.14	3.25	0.87	12.28	0.09	0.029	< LOD	0.005	< LOD	0.001	0.003	< LOD				
674	< LOD	14.36	52.65	6.88	0.90	0.07	5.84	0.03	0.086	< LOD	0.006	0.005	0.030	0.043	< LOD				
674.6	1.86	3.39	58.90	2.86	0.18	0.02	1.34	0.01	< LOD	0.003	< LOD	0.008	0.008	< LOD					
675.6	4.10	1.52	33.87	1.31	0.47	0.36	11.93	0.28	0.214	0.028	< LOD	< LOD	0.003	0.022	< LOD	0.010	0.001	< LOD	< LOD

Süg. (m)	MgO	Al2O3	SiO2	K2O	Ca	Mn	Fe	Ti	P	S	Cr	Ni	Cu	Zn	Pb	Rb	Sr	Zr	Ba	
676.6	4.95	4.89	50.96	0.20	5.07	1.15	21.23	0.20	0.047	< LOD	< LOD	0.003	0.002	0.017	0.004	0.002	0.004	0.001	< LOD	
677.6	3.90	9.81	35.03	5.21	0.43	0.17	23.17	0.37	0.062	< LOD	0.021	0.003	0.002	0.020	0.010	0.032	0.030	< LOD	0.164	
678.3	3.96	2.49	54.79	0.08	0.80	1.46	17.07	0.07	< LOD	< LOD	< LOD	0.004	< LOD	0.015	0.004	0.001	0.008	0.002	< LOD	
679.3	3.69	6.38	60.43	0.28	2.70	1.23	17.57	0.17	0.036	< LOD	< LOD	< LOD	< LOD	0.008	0.003	0.001	0.006	0.001	< LOD	
680.3	3.89	4.93	45.10	2.29	0.92	1.01	10.83	0.54	0.289	0.047	< LOD	< LOD	0.011	< LOD	0.004	0.004	< LOD	< LOD		
681.3	3.31	8.65	42.91	0.50	2.40	0.99	21.65	0.23	0.069	0.091	0.018	0.006	0.003	0.018	0.008	0.005	0.016	0.005	< LOD	
682.3	2.41	9.66	58.78	0.52	3.67	0.83	12.89	0.12	0.037	0.026	< LOD	< LOD	0.003	0.011	< LOD	0.003	0.011	0.003	0.068	
683.3	5.77	5.22	41.41	2.07	0.74	1.92	19.62	0.45	0.028	0.074	0.027	0.006	< LOD	0.033	0.004	0.015	0.002	0.001	< LOD	
684	2.55	2.76	68.92	0.51	1.02	0.74	4.57	0.16	0.027	2.346	0.008	< LOD	< LOD	0.008	< LOD	0.001	0.001	< LOD	< LOD	
685	2.51	7.24	49.21	0.22	1.87	2.13	14.30	0.11	< LOD	0.734	< LOD	0.006	0.008	0.018	< LOD	0.002	0.003	0.003	< LOD	
686	2.97	7.07	55.78	0.46	2.82	1.49	12.35	0.27	0.046	0.209	0.027	0.006	0.005	0.017	< LOD	0.003	0.008	0.004	< LOD	
686.7	1.39	8.09	67.76	5.28	0.25	0.05	0.23	< LOD	0.005	0.015	0.026	< LOD	0.307							
687.7	3.62	6.97	49.52	0.48	1.84	3.03	13.93	0.14	0.065	1.060	0.020	0.009	0.008	0.011	< LOD	0.004	0.005	0.003	0.055	
688.7	3.94	7.11	58.08	0.70	2.75	2.62	12.04	0.26	0.051	0.030	0.022	< LOD	< LOD	0.011	< LOD	0.003	0.009	0.003	0.059	
689.7	4.24	5.81	50.99	0.46	3.12	2.04	16.55	0.31	0.079	0.958	0.020	0.006	0.008	0.016	0.006	0.002	0.005	0.002	0.098	
690.7	2.80	7.41	58.19	0.65	3.02	3.04	9.79	0.21	0.044	0.232	0.014	< LOD	0.003	0.011	0.003	0.004	0.015	0.004	0.243	
691.7	2.74	6.67	58.88	0.31	3.17	3.54	10.45	0.11	0.052	0.297	< LOD	0.006	0.007	0.014	< LOD	0.002	0.005	0.004	0.148	
692.7	3.44	5.59	44.69	0.35	2.92	2.39	9.16	0.23	0.050	0.264	< LOD	0.007	0.007	0.018	0.003	0.002	0.006	0.004	0.061	
693.5	3.57	9.09	30.92	3.89	0.47	0.79	24.28	1.68	0.132	0.656	0.072	0.012	0.018	0.082	0.007	0.035	0.002	< LOD	0.061	
694.5	< LOD	14.79	43.03	6.31	1.72	1.90	12.23	0.14	0.798	< LOD	0.029	0.004	< LOD	0.009	0.007	0.028	0.043	< LOD	0.201	
695.5	1.40	6.09	24.49	3.30	3.28	0.04	2.33	< LOD	1.834	< LOD	0.005	0.004	0.022	0.026	< LOD	0.192				
696.3	< LOD	18.00	61.55	10.81	0.45	0.01	0.15	< LOD	0.006	0.034	0.038	< LOD	0.263							
697.3	< LOD	15.56	56.33	10.07	0.61	< LOD	0.29	< LOD	0.007	0.035	0.039	< LOD	0.245							
698.3	< LOD	13.41	50.77	8.52	0.28	0.04	0.28	< LOD	0.005	0.033	0.035	< LOD	0.232							
699.3	< LOD	16.04	57.42	9.84	0.38	< LOD	0.09	< LOD	0.050	0.018	< LOD	< LOD	< LOD	< LOD	0.001	0.007	0.031	0.039	< LOD	0.274
700.3	< LOD	11.19	42.92	7.03	0.24	< LOD	0.12	< LOD	< LOD	0.062	< LOD	< LOD	< LOD	< LOD	0.007	0.032	0.038	< LOD	0.283	
701.3	< LOD	15.96	59.54	9.48	2.89	0.05	0.16	< LOD	1.959	< LOD	0.007	0.032	0.036	< LOD	0.250					
702	< LOD	11.71	45.70	7.94	0.28	< LOD	0.05	< LOD	0.007	0.033	0.035	< LOD	0.255							
703	< LOD	13.92	51.23	8.04	0.22	< LOD	0.06	< LOD	0.007	0.035	0.034	< LOD	0.289							
704	3.56	7.71	39.81	0.04	8.25	7.12	10.81	0.10	0.061	< LOD	< LOD	0.007	0.011	0.017	< LOD	< LOD	0.006	0.002	< LOD	
704.5	< LOD	17.06	62.09	10.42	0.38	0.02	0.13	< LOD	< LOD	0.057	< LOD	0.007	0.033	0.035	< LOD	0.250				
705.5	5.30	11.17	20.50	5.22	1.18	0.23	26.39	1.60	0.631	< LOD	0.016	0.005	< LOD	0.062	0.008	0.046	0.006	< LOD	0.100	

Süg. (m)	MgO	Al ₂ O ₃	SiO ₂	K ₂ O	Ca	Mn	Fe	Ti	P	S	Cr	Ni	Cu	Zn	Pb	Rb	Sr	Zr	Ba	
706.5	1.44	11.92	43.62	7.56	0.17	< LOD	0.12	< LOD	0.011	0.034	0.035	< LOD	0.257							
707.5	< LOD	15.75	56.35	9.77	0.65	< LOD	0.19	< LOD	0.270	< LOD	0.007	0.034	0.035	< LOD	0.247					
708.5	< LOD	18.41	61.54	10.67	0.37	0.01	0.20	< LOD	0.007	0.032	0.040	< LOD	0.281							
709.5	3.10	4.75	50.80	0.32	1.90	1.88	8.61	0.19	0.046	0.292	0.016	0.008	0.007	0.009	< LOD	0.002	0.006	0.003	0.035	
710.5	1.93	5.35	48.66	0.26	1.14	1.98	7.88	0.12	0.089	0.059	0.011	0.005	0.002	0.008	< LOD	0.001	0.003	< LOD	0.022	
711	3.72	6.26	55.55	0.27	2.63	3.04	11.14	0.17	0.058	< LOD	0.017	0.006	0.004	0.014	0.002	0.001	0.004	0.004	0.195	
712.1	3.70	6.80	56.00	0.32	3.31	3.95	9.19	0.31	0.052	1.876	0.022	0.009	0.018	0.009	< LOD	0.002	0.002	0.005	0.082	
713.1	< LOD	13.75	50.78	7.46	0.47	< LOD	0.12	< LOD	0.005	0.033	0.031	< LOD	0.265							
714.1	< LOD	17.67	61.81	10.22	0.47	0.01	0.19	0.07	< LOD	0.002	0.015	0.033	0.035	< LOD	0.288					
715	3.14	3.59	31.11	0.03	6.25	4.40	8.41	0.12	0.062	< LOD	0.013	0.004	0.013	0.020	< LOD	< LOD	0.003	0.002	< LOD	
716	1.87	4.86	51.99	0.03	4.11	3.33	6.77	0.06	1.851	1.619	< LOD	0.004	0.030	0.005	< LOD	< LOD	0.002	< LOD	< LOD	
717	< LOD	15.62	54.93	9.43	0.31	< LOD	0.07	< LOD	0.009	0.033	0.038	< LOD	0.257							
717.9	3.00	3.72	45.44	0.04	3.36	3.53	6.46	0.10	0.029	0.266	< LOD	0.010	0.009	0.012	< LOD	< LOD	0.001	0.003	< LOD	
718.9	2.57	11.29	24.11	0.44	3.52	4.30	18.79	0.19	1.529	< LOD	0.044	0.014	< LOD	0.008	0.005	0.002	0.003	< LOD	< LOD	
719.3	< LOD	17.79	58.50	8.94	1.27	0.03	0.51	< LOD	0.516	< LOD	0.001	0.014	0.027	0.045	< LOD	0.294				
720.3	2.48	4.62	53.26	< LOD	4.94	4.82	9.95	0.16	0.030	< LOD	0.021	0.008	< LOD	0.012	< LOD	< LOD	0.002	0.003	< LOD	
721.3	3.05	10.86	61.27	1.32	2.40	3.47	8.04	0.33	0.042	0.029	0.027	0.006	< LOD	0.010	0.002	0.010	0.006	0.005	0.161	
722.3	2.93	3.12	55.81	< LOD	3.40	2.85	5.17	0.09	0.060	< LOD	0.010	0.005	< LOD	0.005	< LOD	< LOD	0.002	0.002	< LOD	
723.4	< LOD	17.11	62.50	10.25	0.33	< LOD	0.13	< LOD	0.001	0.001	0.006	0.033	0.039	< LOD	0.267					
724.4	3.16	17.57	60.83	10.76	0.27	< LOD	0.05	< LOD	0.006	0.035	0.035	< LOD	0.406							
725.4	1.76	10.00	76.73	5.38	0.34	0.03	1.14	0.10	< LOD	< LOD	0.009	< LOD	< LOD	0.003	0.003	0.020	0.019	0.003	0.211	
726.4	1.78	12.64	72.40	4.08	1.11	0.02	1.07	0.10	< LOD	0.003	0.004	0.019	0.021	0.001	0.229					
727.4	1.65	2.96	86.94	1.95	0.15	< LOD	0.07	< LOD	0.006	0.003	< LOD	0.033								
728.2	< LOD	< LOD	94.81	0.15	0.09	< LOD	0.05	< LOD	0.001	0.000	< LOD	0.018								
729	< LOD	12.27	66.74	7.16	0.31	0.03	0.56	< LOD	0.001	0.001	0.006	0.024	0.028	< LOD	0.237					
730	< LOD	4.77	76.70	2.96	0.20	0.01	0.66	0.03	< LOD	0.001	0.002	0.002	0.009	0.009	< LOD	0.063				
731	1.39	7.95	81.09	4.90	0.24	< LOD	0.09	< LOD	0.001	0.003	0.017	0.016	< LOD	0.188						
732	< LOD	17.14	65.44	10.38	0.35	< LOD	0.05	< LOD	0.025	< LOD	0.007	0.030	0.038	< LOD	0.284					
733	< LOD	13.92	62.92	8.74	0.27	< LOD	0.12	< LOD	0.001	< LOD	0.005	0.024	0.030	< LOD	0.219					
734	2.01	11.99	64.49	3.81	0.71	0.86	4.72	0.02	< LOD	0.323	< LOD	< LOD	0.005	0.003	< LOD	0.008	0.010	< LOD	0.058	
735	1.99	4.41	42.59	0.52	1.05	0.84	9.18	0.12	0.024	< LOD	< LOD	0.004	< LOD	0.007	< LOD	0.009	0.002	0.004	0.061	
736	6.42	9.53	52.20	0.81	0.76	0.87	14.47	0.27	0.030	0.030	0.013	0.004	0.002	0.013	< LOD	0.009	0.004	0.005	0.026	

Süg. (m)	MgO	Al ₂ O ₃	SiO ₂	K ₂ O	Ca	Mn	Fe	Ti	P	S	Cr	Ni	Cu	Zn	Pb	Rb	Sr	Zr	Ba	
737	2.44	6.94	61.71	0.68	2.19	1.12	10.28	0.16	0.061	< LOD	< LOD	0.003	< LOD	0.009	< LOD	0.007	0.002	0.004	0.064	
737.5	1.68	7.82	76.14	0.42	1.39	0.79	3.59	< LOD	0.089	0.030	< LOD	< LOD	< LOD	0.004	< LOD	0.001	0.007	< LOD	< LOD	
738.5	1.36	2.59	78.04	1.36	0.25	0.55	2.70	< LOD	< LOD	0.028	< LOD	< LOD	0.002	0.002	0.002	0.005	0.009	< LOD	0.096	
739.7	7.10	14.53	30.49	3.89	0.75	2.15	14.50	0.69	< LOD	0.025	0.032	0.014	< LOD	0.020	< LOD	0.032	0.002	0.021	0.070	
740.5	< LOD	16.26	62.40	9.42	0.31	< LOD	0.07	< LOD	0.006	0.027	0.034	< LOD	0.216							
741.5	2.70	13.50	46.65	7.63	0.45	0.10	2.16	0.19	< LOD	0.004	0.006	0.029	0.038	0.004	0.231					
742.5	7.69	10.71	24.34	6.22	0.10	0.10	8.82	1.15	< LOD	< LOD	0.032	0.014	< LOD	0.022	< LOD	0.068	0.001	0.031	0.118	
743.5	1.48	11.50	43.52	0.22	2.39	0.28	1.44	< LOD	0.001	< LOD	0.001	0.027	< LOD	0.031						
744.1	3.37	10.88	44.68	0.30	0.76	2.41	10.00	< LOD	< LOD	0.146	< LOD	0.008	< LOD	0.005	< LOD	0.001	0.001	0.016	< LOD	
745.1	< LOD	6.51	87.06	2.41	0.62	0.02	0.44	< LOD	0.003	0.010	0.013	0.002	0.086							
746.1	< LOD	4.70	55.73	3.24	0.13	< LOD	0.08	< LOD	0.004	0.015	0.018	< LOD	0.160							
747	3.45	10.24	30.20	3.73	0.46	0.30	4.98	0.41	< LOD	< LOD	0.012	0.005	0.002	0.012	0.002	0.032	0.015	0.020	0.109	
748	1.66	12.91	49.27	4.51	0.36	0.03	4.07	0.20	< LOD	< LOD	0.013	< LOD	< LOD	0.007	0.003	0.025	0.017	0.008	0.187	
748.9	5.30	18.09	48.08	2.01	0.94	0.51	9.06	0.46	< LOD	0.018	0.027	0.004	0.005	0.012	0.003	0.010	0.014	0.015	0.062	
750	3.82	16.51	53.27	4.30	1.38	0.56	6.58	0.52	< LOD	0.130	0.014	0.004	0.006	0.011	0.003	0.019	0.019	0.011	0.075	
751	1.57	6.51	80.15	4.04	0.22	< LOD	0.17	< LOD	< LOD	< LOD	0.004	< LOD	< LOD	0.001	0.003	0.014	0.014	< LOD	0.236	
752	2.06	8.72	36.57	2.15	0.90	0.56	4.45	0.16	< LOD	< LOD	0.018	< LOD	< LOD	0.011	0.002	0.011	0.019	0.009	0.121	
752.5	3.06	16.49	59.82	3.69	1.00	0.22	3.24	0.27	< LOD	0.059	0.011	< LOD	0.001	0.008	0.002	0.012	0.018	0.008	0.089	
753.5	4.70	14.80	42.04	0.45	0.21	0.37	4.70	< LOD	< LOD	0.021	0.013	0.003	0.002	0.007	< LOD	0.005	0.002	0.019	< LOD	
754.5	4.50	20.34	52.91	3.20	0.52	0.28	5.64	0.36	< LOD	< LOD	0.023	0.005	< LOD	0.012	< LOD	0.016	0.010	0.013	0.095	
755.6	2.05	9.90	45.38	2.80	0.34	0.41	6.03	0.37	< LOD	< LOD	0.015	0.005	< LOD	0.009	< LOD	0.022	0.009	0.012	0.104	
756.6	2.95	6.96	39.40	1.42	0.15	0.56	8.88	0.17	< LOD	< LOD	0.023	< LOD	< LOD	0.007	< LOD	0.009	0.010	0.009	0.088	
757.6	5.94	16.19	47.39	1.70	0.17	0.27	8.36	0.62	< LOD	0.077	0.048	0.008	0.004	0.013	< LOD	0.012	0.003	0.020	0.054	
758.3	3.14	13.33	51.06	6.21	0.32	0.06	4.42	0.42	0.019	< LOD	0.010	< LOD	< LOD	0.005	0.004	0.020	0.033	0.005	0.174	
759.3	2.93	13.40	55.50	3.29	0.68	0.06	3.58	0.47	< LOD	0.094	0.013	0.003	0.004	0.009	0.004	0.017	0.020	0.016	0.116	
760.3	1.64	< LOD	65.37	0.06	0.17	< LOD	0.07	< LOD	< LOD	0.026	< LOD	< LOD	< LOD	0.001	< LOD					
761.3	3.58	10.86	61.60	1.49	0.43	0.08	3.02	0.35	< LOD	0.077	0.020	0.003	0.003	0.006	< LOD	0.008	0.006	0.013	0.073	
762	2.86	5.34	41.41	1.01	0.09	0.11	4.43	0.31	< LOD	0.241	0.035	< LOD	0.016	0.009	< LOD	0.008	0.000	0.019	0.036	
763	2.14	10.25	41.69	0.52	1.81	0.06	2.16	0.13	< LOD	< LOD	0.011	< LOD	0.002	0.003	0.002	0.004	0.024	< LOD	< LOD	
765	1.47	9.75	76.99	2.86	0.97	0.04	1.82	0.20	< LOD	0.002	0.004	0.002	0.009	0.019	0.009					
766	4.67	9.50	50.42	0.80	0.11	0.13	2.67	0.23	< LOD	0.008	< LOD	0.006	0.001	0.013	0.031					
764	2.29	8.37	54.29	1.03	1.40	0.04	1.62	0.17	< LOD	< LOD	0.015	< LOD	< LOD	0.011	< LOD	0.007	0.020	0.007	0.032	

Süg. (m)	MgO	Al ₂ O ₃	SiO ₂	K ₂ O	Ca	Mn	Fe	Ti	P	S	Cr	Ni	Cu	Zn	Pb	Rb	Sr	Zr	Ba
766.8	3.01	10.30	73.46	1.55	1.46	0.06	2.84	0.41	< LOD	< LOD	0.013	< LOD	0.001	0.005	< LOD	0.011	0.015	0.011	0.042
767.7	3.43	12.71	66.28	1.44	1.21	0.13	3.32	0.28	0.023	< LOD	0.035	< LOD	0.003	0.008	0.002	0.007	0.013	0.013	0.042
768.7	3.45	9.29	73.07	2.08	0.89	0.09	4.07	0.46	< LOD	< LOD	0.040	< LOD	0.002	0.006	< LOD	0.012	0.010	0.020	0.095
769.8	3.47	14.64	68.89	1.50	1.36	0.11	2.88	0.30	< LOD	< LOD	0.022	< LOD	< LOD	0.006	0.002	0.007	0.018	0.016	0.043
770.4	2.53	10.99	75.01	1.34	1.34	0.11	3.86	0.32	< LOD	0.681	0.031	< LOD	0.001	0.006	< LOD	0.007	0.015	0.020	0.036

Lihtlitsents lõputöö reproduutseerimiseks ja üldsusele kättesaadavaks tegemiseks

Mina, Rasmus Kont,

(*autorinimi*)

1. annan Tartu Ülikoolile tasuta loa (lihtlitsentsi) minu loodud teose

Jõhvi raudkvartsiidi keemiline analüüs käsi-XRF-iga,

(*lõputöö pealkiri*)

mille juhendajad on Peeter Somelar ja Siim Nirgi,

(*juhendaja nimi*)

reproduutseerimiseks eesmärgiga seda säilitada, sealhulgas lisada digitaalarhiivi DSpace kuni autorioiguse kehtivuse lõppemiseni.

2. Annan Tartu Ülikoolile loa teha punktis 1 nimetatud teos üldsusele kättesaadavaks Tartu Ülikooli veebikeskkonna, sealhulgas digitaalarhiivi DSpace kaudu Creative Commonsi litsentsiga CC BY NC ND 3.0, mis lubab autorile viidates teost reproduutseerida, levitada ja üldsusele suunata ning keelab luua tuletatud teost ja kasutada teost ärieesmärgil, kuni autorioiguse kehtivuse lõppemiseni.
3. Olen teadlik, et punktides 1 ja 2 nimetatud õigused jäädvad alles ka autorile.
4. Kinnitan, et lihtlitsentsi andmisega ei riku ma teiste isikute intellektuaalomandi ega isikuandmete kaitse õigusaktidest tulenevaid õigusi.

Rasmus Kont

01.06.2020